



# **PHYSIOPATHOLOGIE DE LA MALADIE DE BEHÇET MALADIES AUTO-INFLAMMATOIRES**

**G. KAPLANSKI**

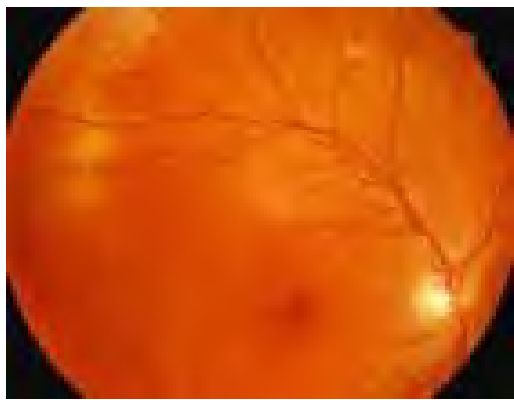
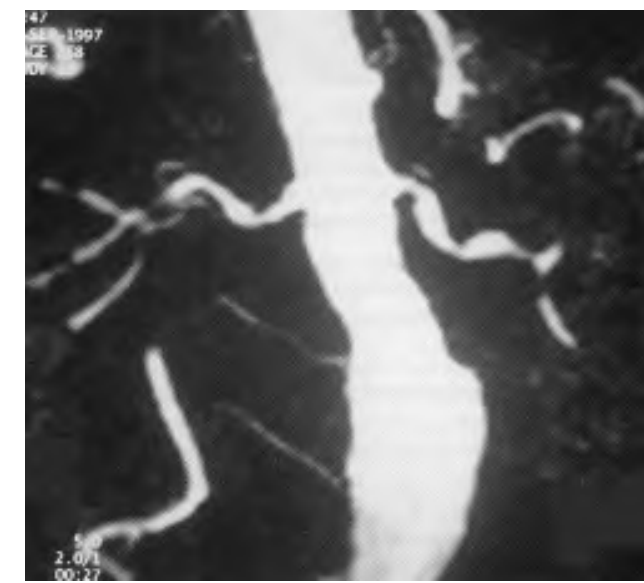
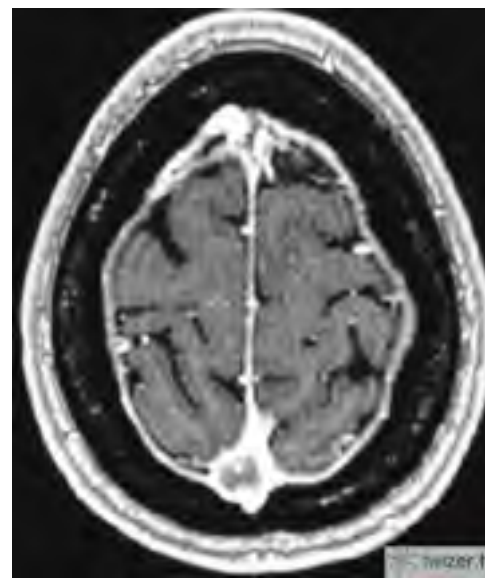
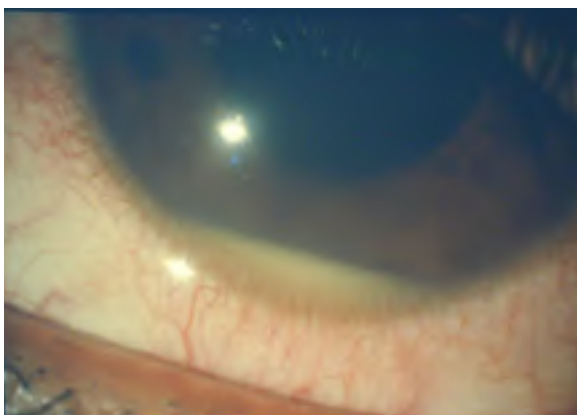
**Service de Médecine Interne, CH Conception,  
Marseille**

**INSERM UMR\_S1076**

**Vascular Research Center Marseille**

# BEHÇET DISEASE (BD)

## A Systemic Chronic Inflammatory Disorder



# BD: A COMPLEX PATHOGENESIS

## Microbial Infections

*Streptococcus sanguis, salivarius..*

## Impaired Microbial Clearance

## Complex Genetic Background

HLA B51, MICA  
IL-10, IL-23R, CCR1, TLR2/4  
MEFV

Heat shock proteins  
Hsp60/65



## Exuberant Host Response

Excess Th1, Th17  
Decreased Th2  
Excess Innate immune response



## Vasculitis

Neutrophilic infiltrates  
Lympho/monocytes

# ROLE DE L'INFECTION MICROBIENNE

## ➤ Rôle du *Streptocoque sanguis* (Mumcu et al , Clin Exp Rheumatol 2009)

- Présence d'infections fréquentes et d' *Ac anti-S.sanguis* au cours de BD
- Efficacité des TRT antibiotiques sur les lésions muqueuses et articulaires

## ➤ Lien avec l'hygiène bucco-dentaire

(Mumcu et al, Rheumatology 2004/Karacayli et al, J Oral Pathol Med 2009)

	Dental index (+) (n= 62) Mean ± SD	Dental index (-) (n= 28) Mean ± SD	P	Serum (n=34) Mean ± SD	Medication (n=42) Mean ± SD	MEDL (n= 44) Mean ± SD	P
Plaque index	2.1± 0.9	1.2± 0.9	0.000*	2.4±0.7	2.1±0.9	1.5±1.01	0.000*
Gingival index	2.4± 0.9	1.5± 1.01	0.000*	2.6±0.6	2.9±1.1	1.7±1.1	0.001*
Salivary bleeding index	1.3± 0.9	1.4± 1.1	0.001*	1.6±0.7	2.1±0.9	1.6±1.04	0.000*
Pocket depth (mm)	3.1± 0.8	2.1± 0.8	0.000*	3.4±0.7	2.9±1.01	2.4±0.9	0.000*
DMFT	6.9± 5.02	2.1± 7.1	0.564	6.5±4.1	7.6±6.03	6.9±6.04	0.536
Number of dental caries	3.3± 4.8	3.2± 4.9	0.246	4.1±4.4	4.1±5.7	3.9±4.6	0.423
Number of carious teeth	2.6± 2.3	1.9± 2.1	0.176	2.08±2.1	2.3±2.3	2.6±3.1	0.540
Oral score (number teeth)	6.3± 6.7	—	—	9.7±5.1	9.4±8.1	6.1±6.1	0.004
Hemoglobin of oral ulcers (g/dl)	8.7± 3.5	—	—	8.6±3.1	9.3±4.1	8.9±3.8	0.637
Disease duration (yr)	9.1± 7.3	3.1±8.1	0.091	6.9±5.4	10.5±9.6	9.02±7.9	0.171
Time to treatment (day)	1.1± 0.9	1.1±0.7	0.877	0.8±0.9	1.2±1.01	1.2±0.7	0.186
Characteristic ulcer duration (day)	5.1± 7.8	1.6±4.7	0.013*	7.3±8.5	2.1±4.7	2.7±6.3	0.013*

Lésions gingivales et parodontales chez les BD avec lésions buccales. Corrélation avec sévérité

# ROLE DE L'INFECTION MICROBIENNE

- Rôle de l'Antigène KTH-1 du *S. sanguis* dans l'induction de prolifération des Lymphocytes  $\gamma\delta$  (Mochizuki et al , Eur J Immunol 1994/Hirohata et al Cell Immunol 1992)
  - Production de cytokines Th-1 et d'IL-6
- Mais pas toujours spécifique (Staph aureus, E. Coli, Mycobactéries, Hélicobacter)
- Pas de rôle de HSV-1 ou autres virus

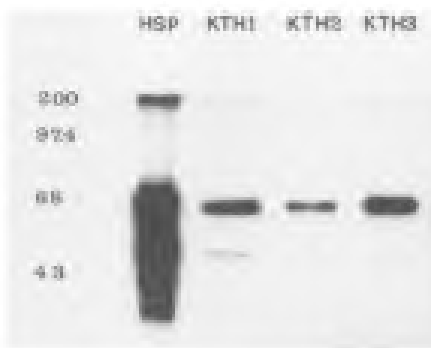
# ROLE DES SUPERANTIGENES

## (Heat Shock Proteins, Ag-S retinal)

HSP: rôle protecteur des protéines intra-cellulaires contre le stress (chaleur, infection, trauma..)

Fortes Homologies de séquences entre HSP microbienne et humaine: HSP65 (*S. Sanguis*) et HSP60 humaine ont 50% d'homologies autorisant des Réactions Croisées de mimétisme moléculaire

- HSP65 est très présente dans les lésions muco-cutanées de BD (Direskeneli, Ann Rheum Dis 2001)
- Réactivité croisée des anti-HSP65 avec des homogénats de muqueuse orale ou des streptos oraux (Lehner, Infect Immunity 1991)



## ROLE DES SUPERANTIGENES

- Augmentation des réponses lymphocytaires T aux peptides de HSP65 et HSP60 chez les BD (Direskeneli, J Rheumatol 2000)

Surtout au peptide 425-41 de HSP60

Surtout les lymphocytes T  $\gamma\delta$

- Augmentation des anticorps anti-strepto et anti-HSP dans le serum des BD avec uvéite (Tanaka, Ocular Immunology and Inflammation 1999)

# ROLE DES SUPERANTIGENES

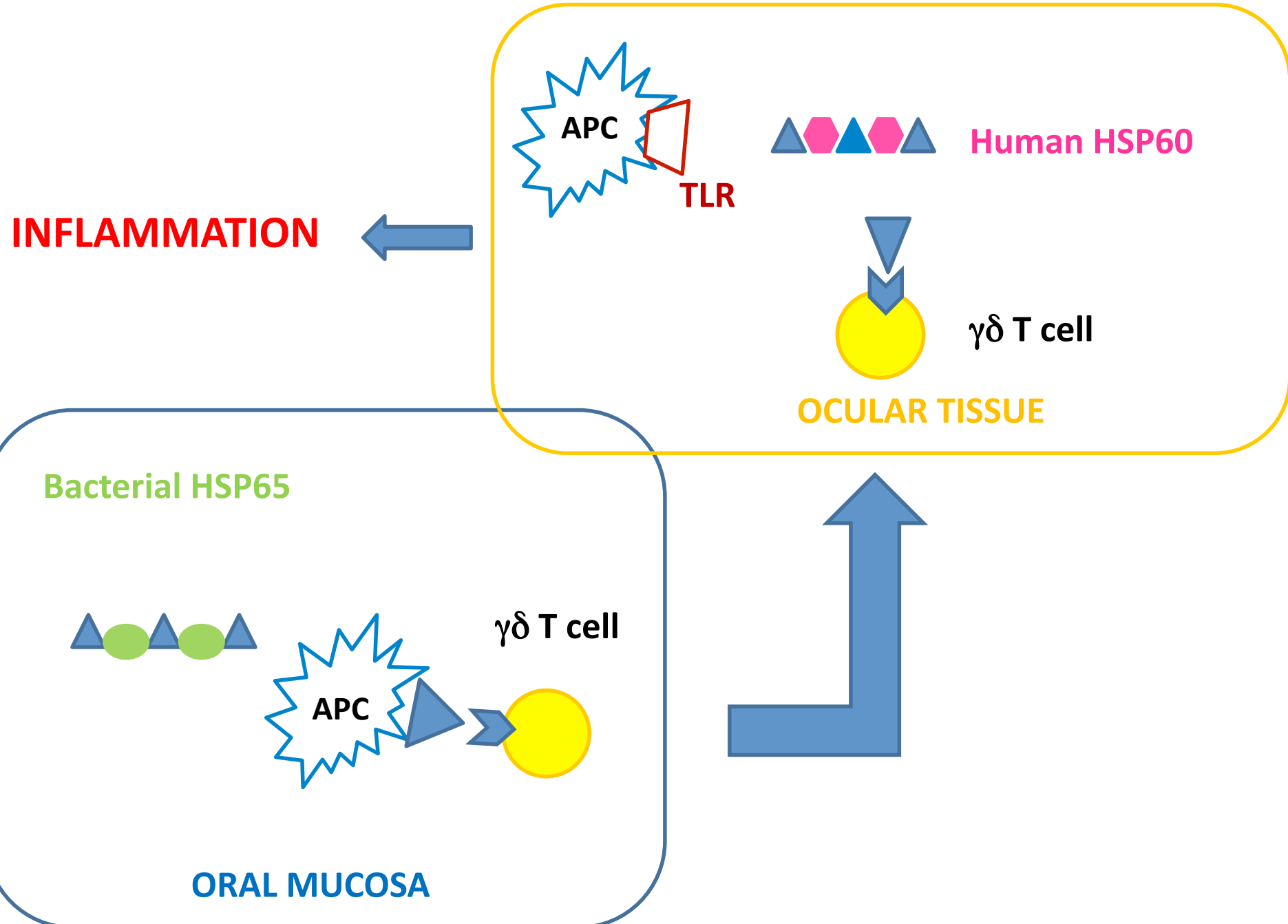
- Injection de HSP SC induit une uvéite expérimentale chez le rat  
(Stanford et al, Clin Exp Immunol 1994)
- Choc thermique de la muqueuse orale augmente la colonisation buccale par *S.sanguis* et inflammation oculaire chez la souris (Isogai et al 2000)



Chambre antérieure  
Synéchies postérieures



Chambre postérieure  
Lésion rétinienne



# PREDISPOSITION GENETIQUE GENES DU COMPLEXE MAJEUR D'HISTOCOMPATIBILITE

➤ Association avec HLAB5-B51, en particulier B5101 est la plus reconnue (Ohno et al, Arch Ophtalmol 1982/de Menthon et al, A&R 2009)

-Risque relatif de développer BD est de 5,78%

-Dans la population turque, fréquence du HLAB51 est de 59% chez les BD vs 29% chez contrôles

-Associé au sexe masculin, aphtes génitaux, atteintes cutanées et oculaires

-Ne représente que 20% des BD

-Lien physiopathologique est obscur

-Hyperactivation des polynucléaires neutrophiles chez les patients et dans la souris transgénique HLAB51 (Takeno, A&R 1995)

# PREDISPOSITION GENETIQUE GENES DU COMPLEXE MAJEUR D'HISTOCOMPATIBILITE

## ➤ Association avec MICA -A6

- MICA se lie à NKG2D à la surface des NK et des T Cytotoxiques et les activent
- Non confirmé sur des études plus importantes

## ➤ Association à HLA-A26 (Kang, Arthritis Res Ther 2011)

- Association aux lésions cutanées, arthrites, uvéites, atteinte vasculaires

## ➤ Promoteur du gène du TNF $\alpha$ (Zhang Mol Vis 2013 meta-analysis)

Discuté+++. Allèles -308G, -857C sont associé à BD chez les Asiatiques,  
-238A, -1031C sont associés à BD chez les Caucasiens

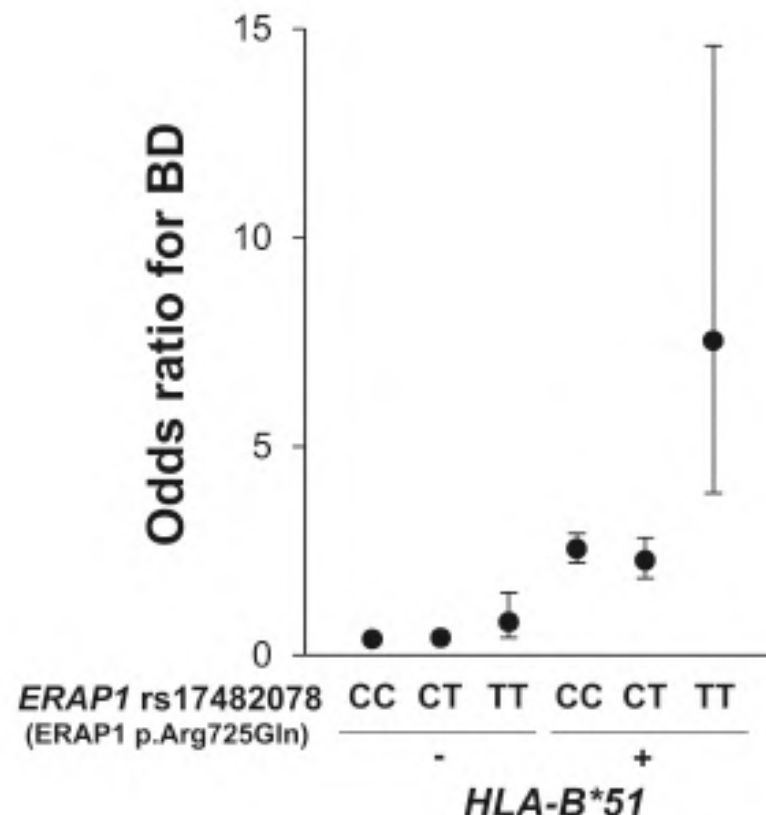
Augmentation des concentrations de TNF dans le serum et humeur aqueuse

Efficacité des anti-TNF dans le TRT des formes oculaires, digestives

# PREDISPOSITION GENETIQUE GENES EN DEHORS DU COMPLEXE MAJEUR D'HISTOCOMPATIBILITE

➤ Genome-Wide Association study (*Kirino Nat Genet 2013*) confirme les associations avec **HLA B51 ou MICA**

- ❖ Snp de ERAP-1: aminopeptidase du reticulum endoplasmique qui est impliquée dans l'association des peptides avec HLA classe I  
Association surtout si BD HLAB51+ avec uvéite



NB: Liens de SNP ERAP-1  
avec SPA HLAB27+:  
plutôt protecteur

# PREDISPOSITION GENETIQUE GENES EN DEHORS DU COMPLEXE MAJEUR D'HISTOCOMPATIBILITE

➤ Genome-Wide Association study (*Kirino Nat Genet 2013*) confirme les associations avec *HLA B51* ou *MICA*

❖ Snp de **KLRC4**: NKG2F impliqué dans la cytotoxicité NK. Défaut de cytotoxicité?

❖ Snp de **CCR1**: Rec pour les chimiokines. Défaut d'expression du Rec sur mono. Défaut d'élimination des microbes?



❖ Snp de **STAT-4**

# PREDISPOSITION GENETIQUE GENES EN DEHORS DU COMPLEXE MAJEUR D'HISTOCOMPATIBILITE

➤ TH-1 cytokine Gene Polymorphisms in BD (Alayi, Clin Rheumatol 2007):  
Liens avec l'immunité adaptative

80 BD patients vs 105 healthy controls from Turkey

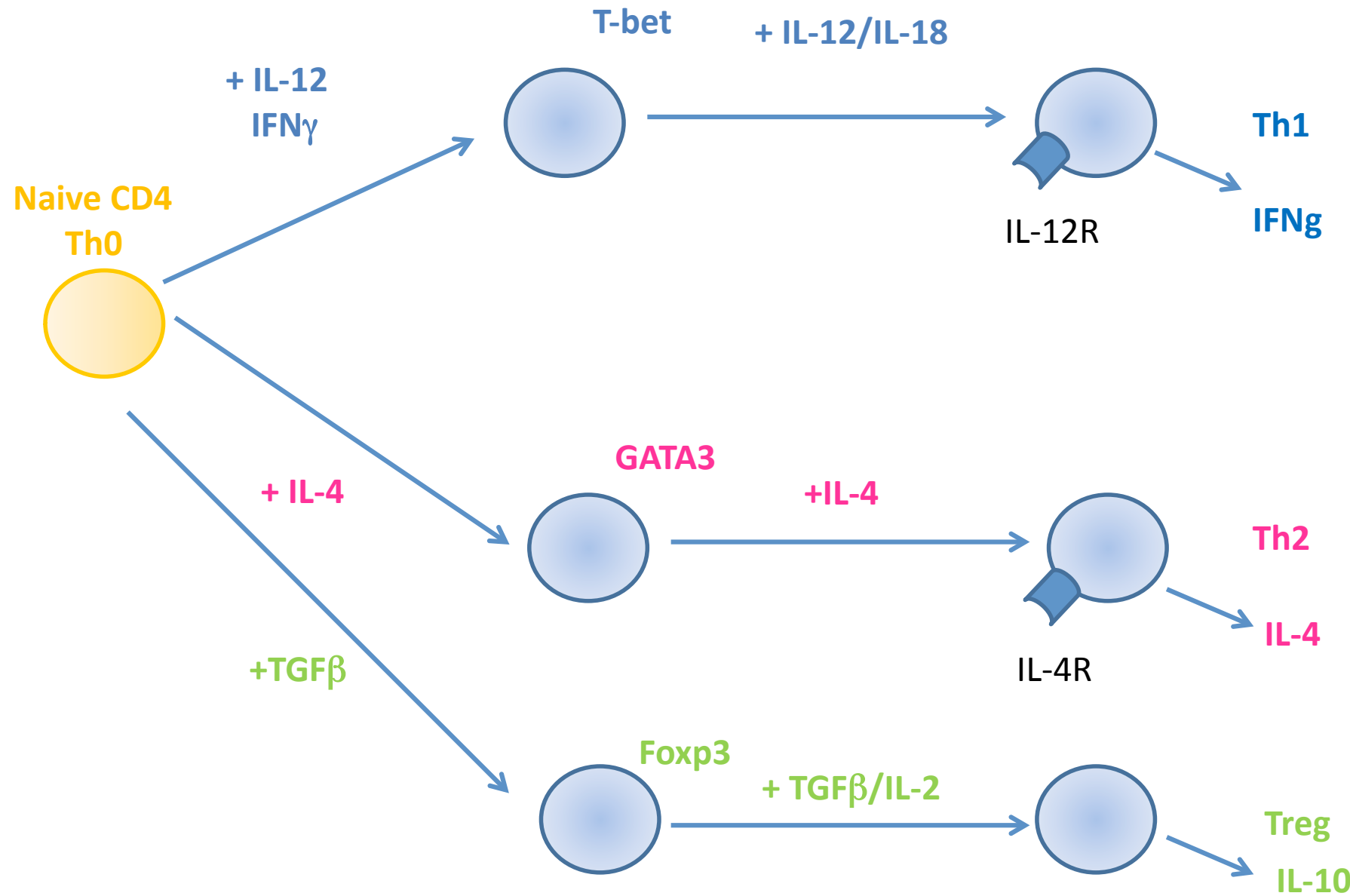
Genotype distribution showed significant differences for

-IL-12 (C/A -1188)

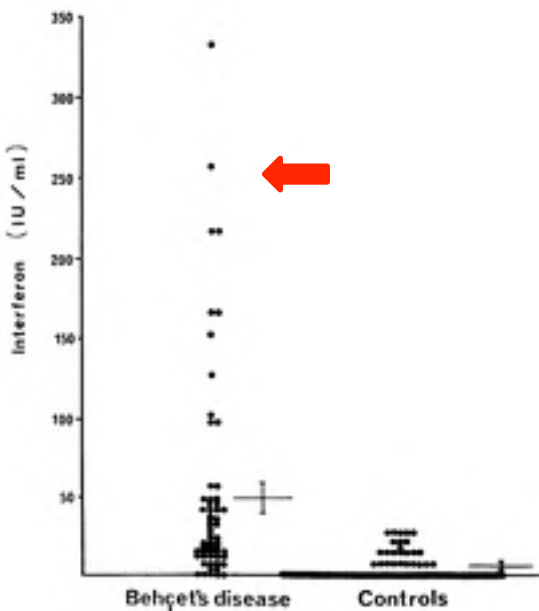
-IFN $\gamma$  (A/T UTR 5644)

-TNF $\alpha$  (G/A -238)

# Th-1/Th2 DIFFERENTIATION PATHWAYS AND BD



# Th1/Th2 Imbalance in BD



**Increased IFN $\gamma$  levels/low IL-4  
in serum and circulating CD4 and CD8 T cells  
from active BD patients**

(Ohno Infect Immun 1982, Hamzaoui Scand J Rheumatol 2002,  
Bacon Clin Exp Immunol 1984, Frassanito A&R 1999)

Table 1. Th1/Th2 cytokine production by CD3+ lymphocytes\*

Group	CD3+ lymphocytes producing		
	IL-2	IFN $\gamma$	IL-4
Behcet's disease (n = 31)	37.4 ± 21.3†	23.6 ± 16.7†	2.7 ± 2.5
Inflammatory arthritis (n = 11)	19.5 ± 7.6	10.6 ± 3.2	18.7 ± 4.5‡
Normal donors (n = 10)	13.7 ± 5.2	5.4 ± 0.8	4.8 ± 4.3

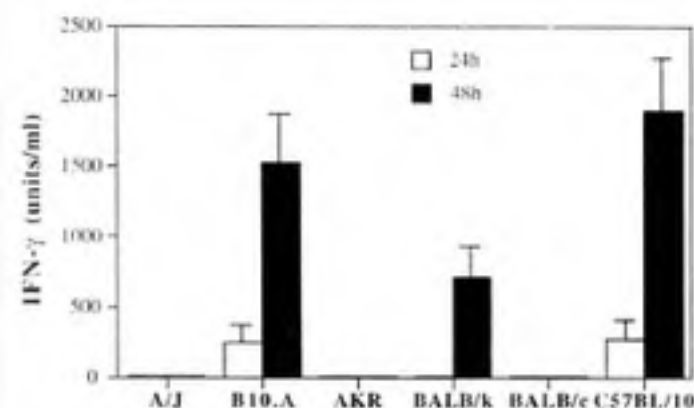
Group	IFN $\gamma$ producing	
	CD4+ cells	CD8+ cells
Active Behcet's disease (n = 14)	25.7 ± 5.7†	14.3 ± 7.6†
Behcet's disease in complete remission (n = 17)	1.1 ± 1.6	0.9 ± 0.6
Normal donors (n = 10)	1.8 ± 0.6	0.6 ± 0.5

# Th1/Th2 Imbalance in BD uveitis

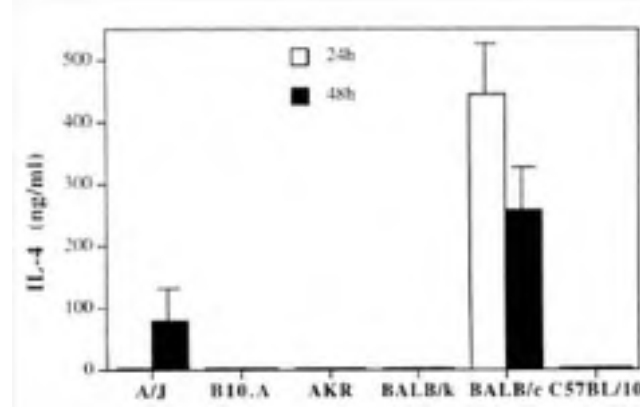
Cytokines	Controls (n = 10)	Non-Behcet Uveitis (n = 10)	Behcet Uveitis (n = 12)
Aqueous			
IFN- $\gamma$ (pg/ml)	4 ± 3	49 ± 23*	108 ± 30†
IL-4 (pg/ml)	5 ± 4	120 ± 44*	54 ± 19†
IFN- $\gamma$ /IL-4 ratio	1.09 ± 0.63	0.37 ± 0.29*	2.31 ± 0.88†

**Increased IFN $\gamma$ /IL-4 ratio  
in aqueous humor**  
(Ahn, Am J Ophthalmol 2006)

## Experimental autoimmune uveitis



Th1 profile in EAU sensitive mice



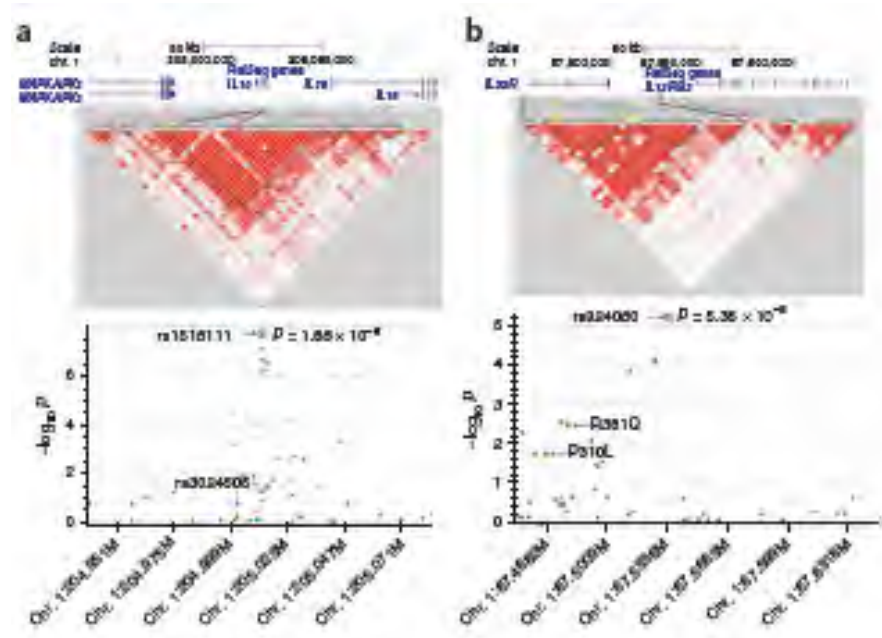
Th2 profile in EAU resistant mice

Sun, J Immunol 1997

# PREDISPOSITION GENETIQUE GENES EN DEHORS DU COMPLEXE MAJEUR D'HISTOCOMPATIBILITE

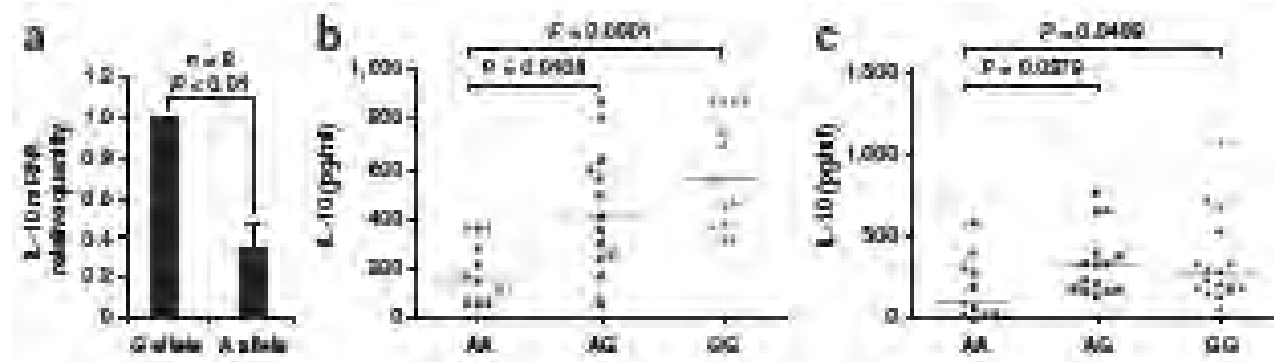
➤ Genome-Wide Association study (*Remmers, Nat Genet 2010, Mizuki, Nat Genet 2010, Xavier A&R 2012*)

Common variants in **IL-10** (rs1518111, OR: 1.45) and **IL-23R/IL12RB2 loci** (rs924080, OR: 1.28) are associated with BD in 2000 BD patients from Turkey, Japan, Middle-East, Europe and Asia



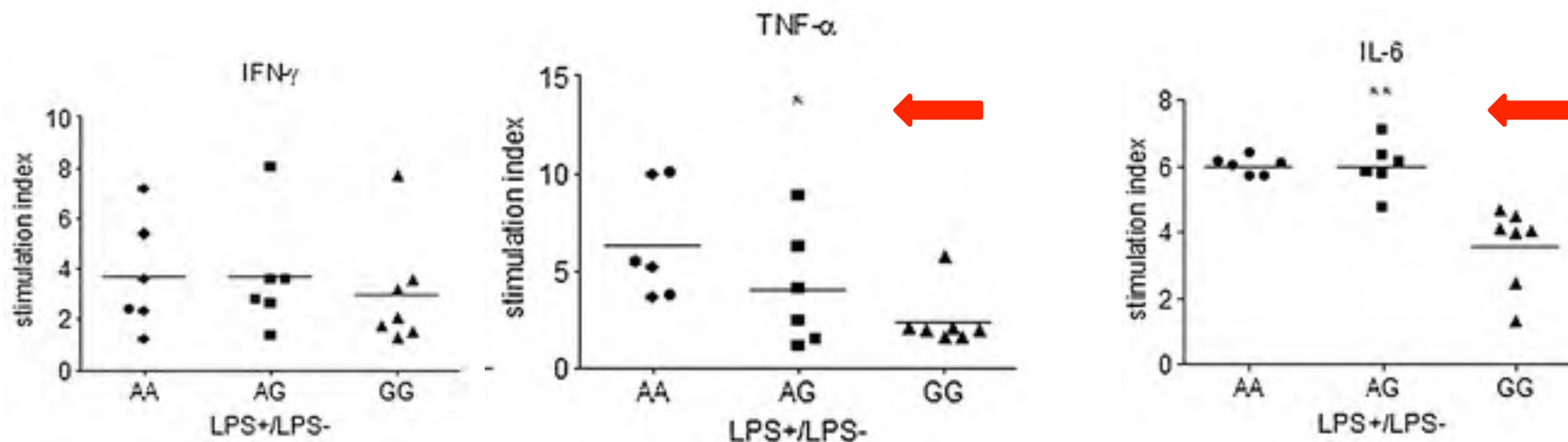
# ALLELIC VARIANTS ASSOCIATED WITH BD ARE PRO-INFLAMMATORY

IL-10 variants are associated with lower IL-10 production



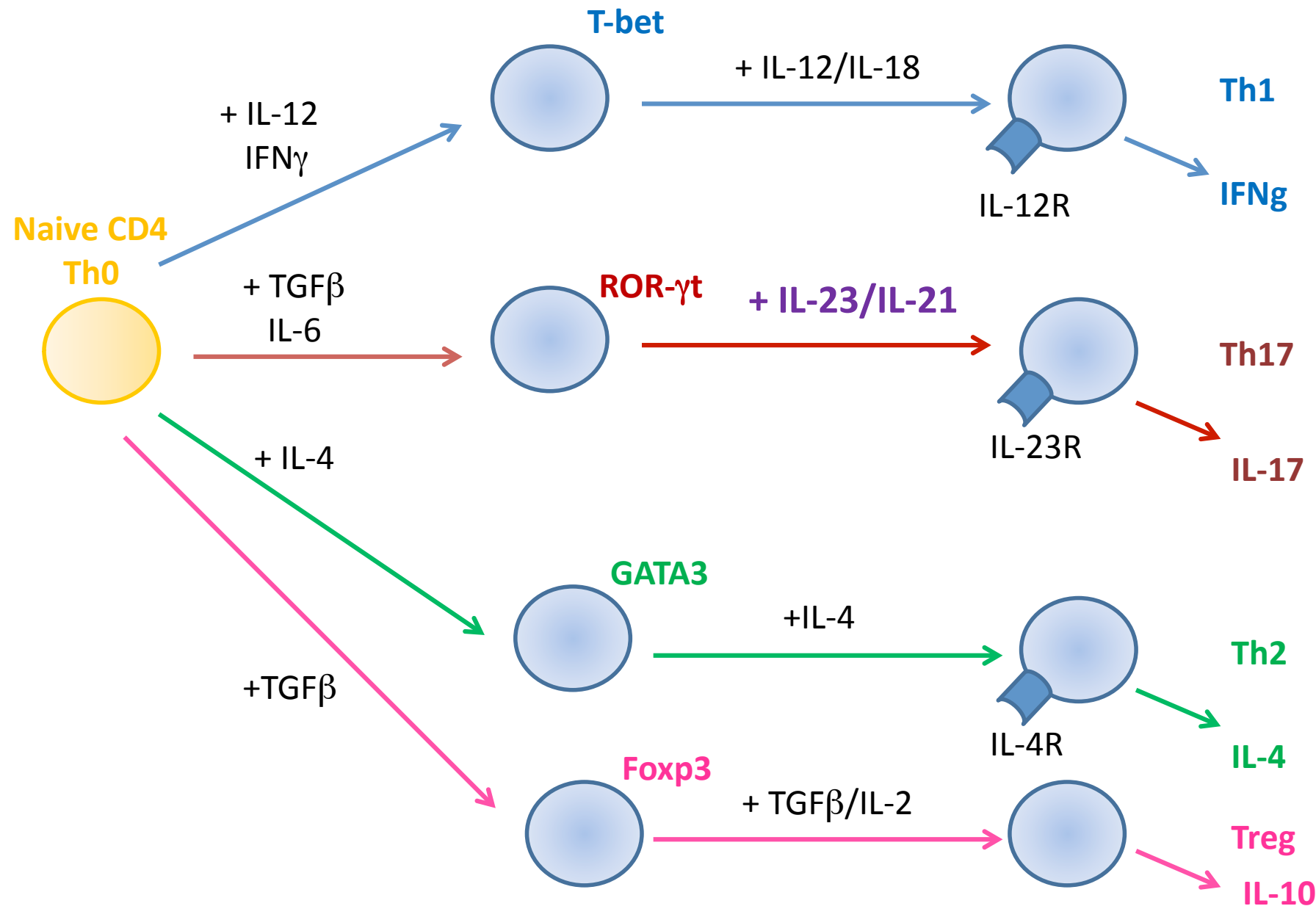
Remmers, Nat Genet 2010

IL-23R-IL-12RB2 variants are associated with higher IL-23R but not with IL-12R stimulation index



Cavus, Immunol Lett 2014

# GWAS studies links BD to an IL-10 vs IL-23/IL-17 axis imbalance

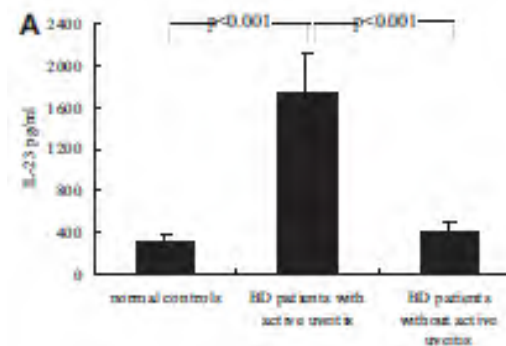


# The IL-23/IL-17 axis is linked to neutrophilic inflammation against extra-cellular bacteria

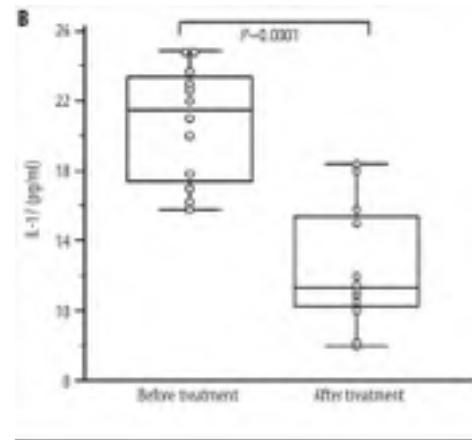
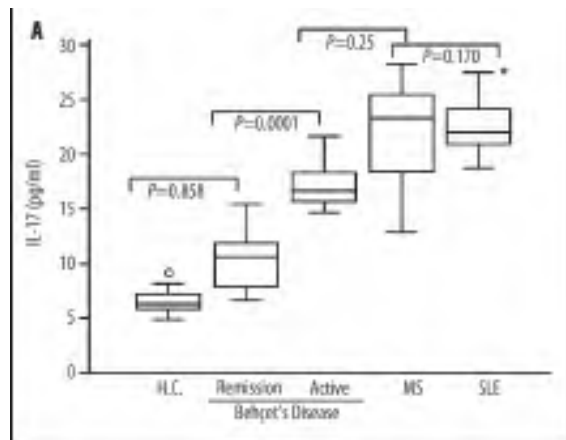
Th Group	Cell Products	Cell Target	Infectious Agents
Th1	 Interleukin-12R Interferon- $\gamma$ Interleukin-2	 Macrophages Dendritic cells	Intracellular bacteria Fungi Viruses
Th17	 Interleukin-23R Interleukin-17A Interleukin-17F Interleukin-21 Interleukin-22	 Neutrophils	Extracellular bacteria Fungi
Th2	 Interleukin-4R Interleukin-4 Interleukin-13 Interleukin-5	 Eosinophils Basophils	Parasites

and is involved in various chronic inflammatory diseases  
(Rheumatoid arthritis, Spondylarthropathy, Multiple sclerosis....)

# Evidence of IL-17/23 axis involvement in BD

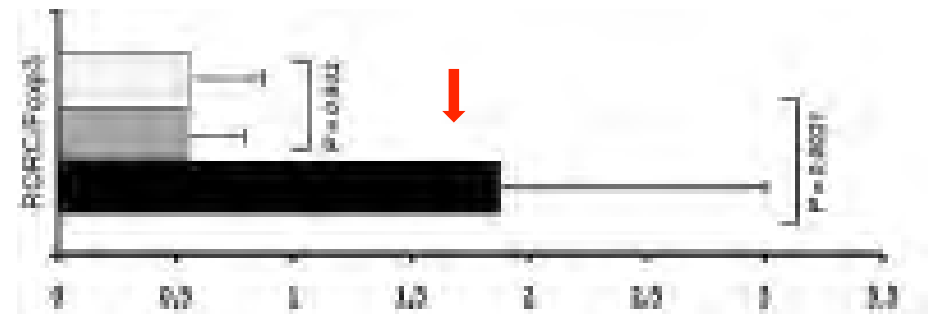
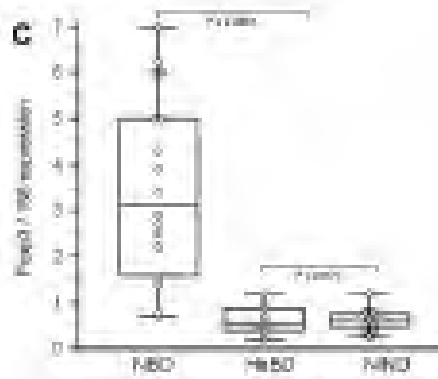
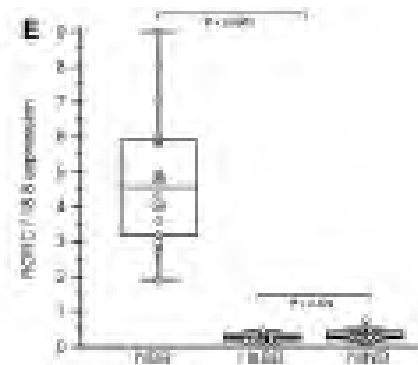


**Increased IL-23p19 mRNA in PBMC and serum IL-23 in BD with active uveitis (33 BD, *Chi IOVS 2008*)**



**Increased IL-17 in active BD (45 BD, *Hamzaoui Med Sci Monit 2011, Na J Rheumatol 2013*)**

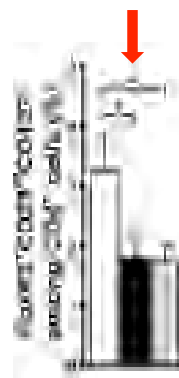
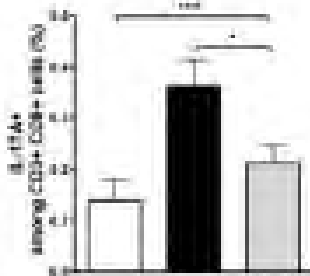
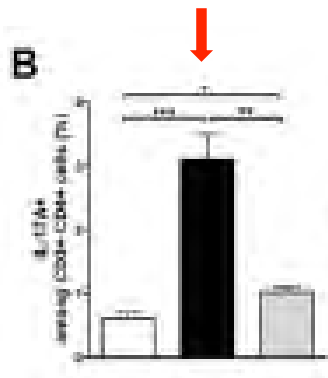
# Evidence for IL-17/IL-10 imbalance in BD



**Increased ROR-gT and Foxp3 positive CD4 T cells in 18 neuro-BD**

**Increased ROR-gt/FoxP3 ratio in neuro BD**

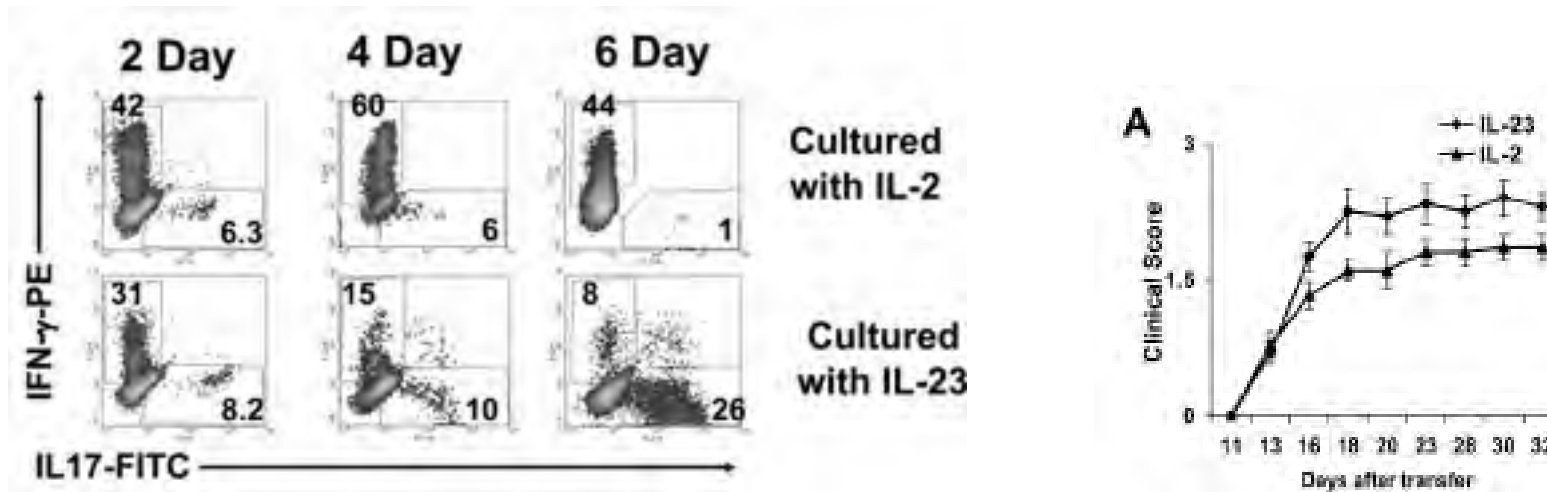
(Hamzaoui, J Neuroimmunol 2011)



**Increased Th17 and decreased FoxP3 CD4 T cells in 45 active BD**

(Geri, J All Clin Immunol 2011)

# Role of Th1/Th17 in Experimental Auto-immune Uveitis (EAU): Immunization with Interphotoreceptor retinoid-binding protein (IRBP)



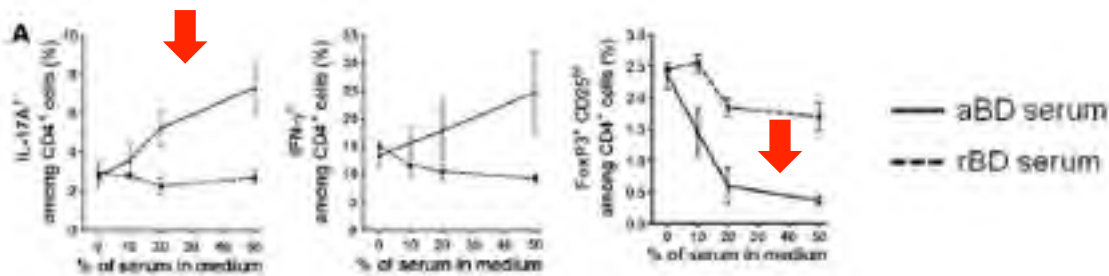
Expansion of Th17 and Th1 cells which are both uveitogenic



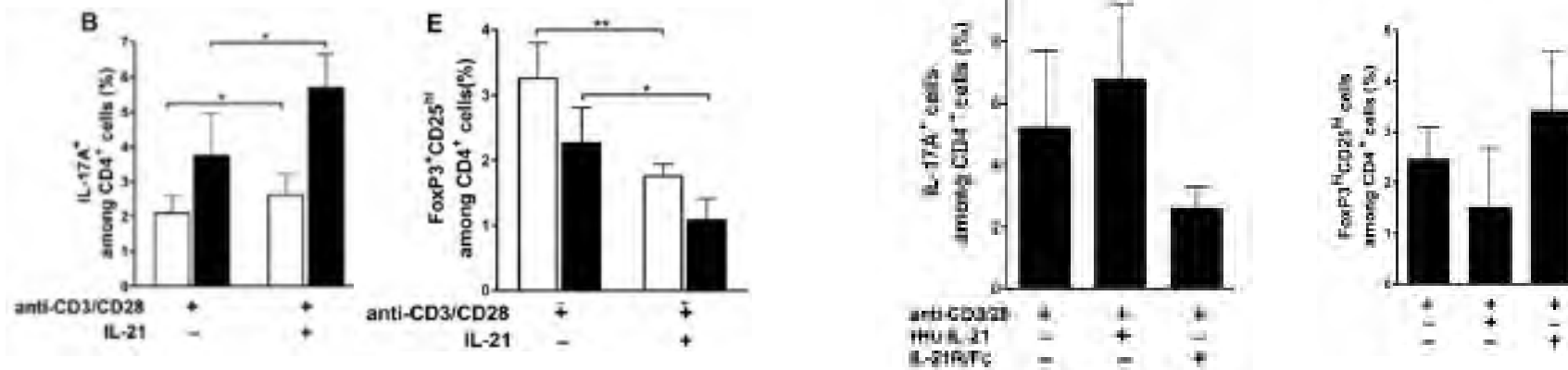
Anti-IL-17 treatment is protective

Peng, IOVS 2007

# IL-21 modulates IL-17-IFNg/IL-10 imbalance in BD



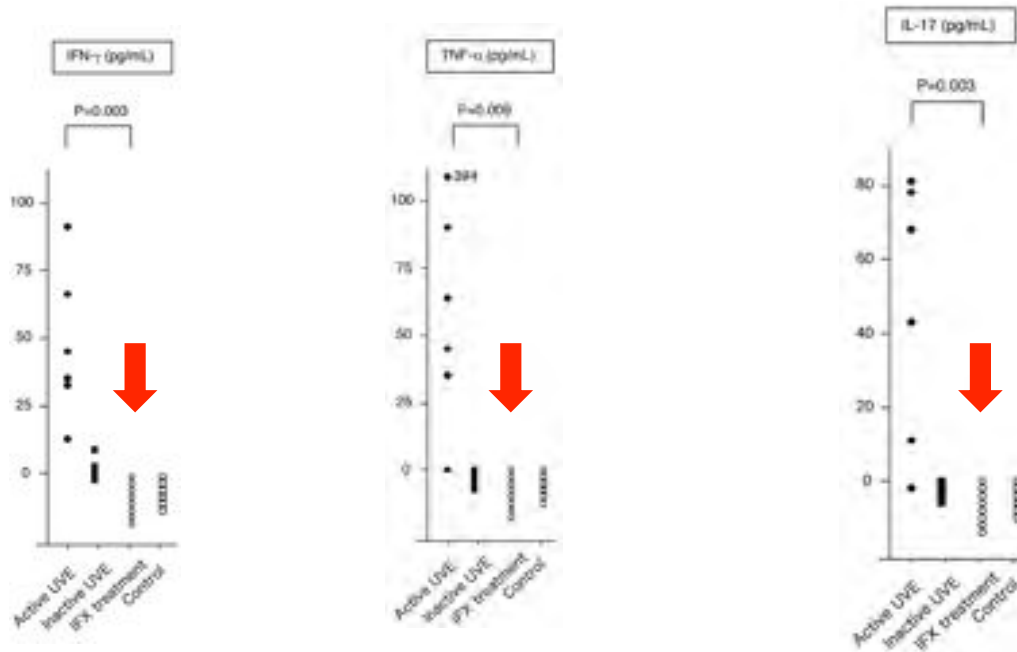
Serum of active BD increased Th17/Th1 and decreased Treg differentiation in vitro



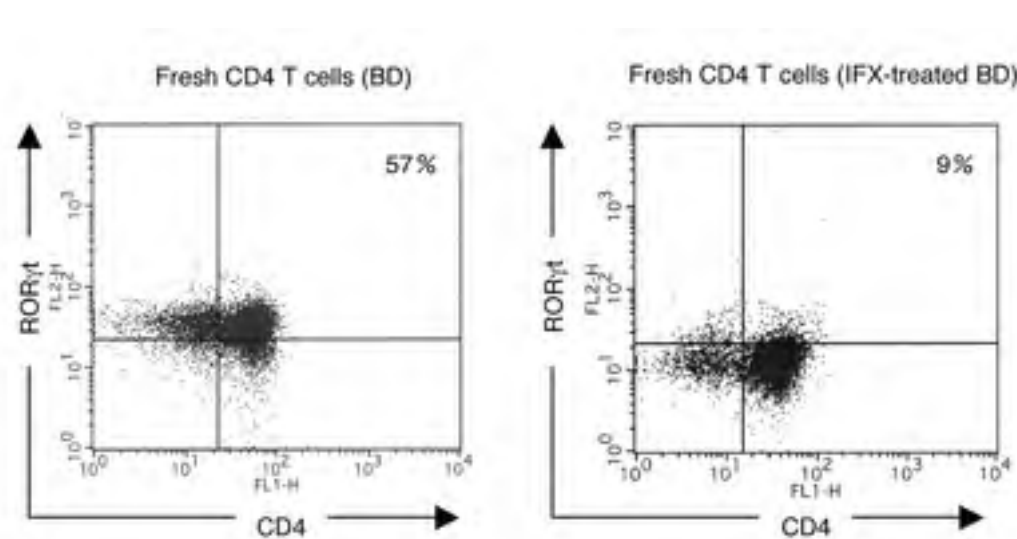
Due to IL-21

↑  
Reversed by anti-IL-21R

# Infliximab therapy inhibits Th1/Th-17 differentiation in BD

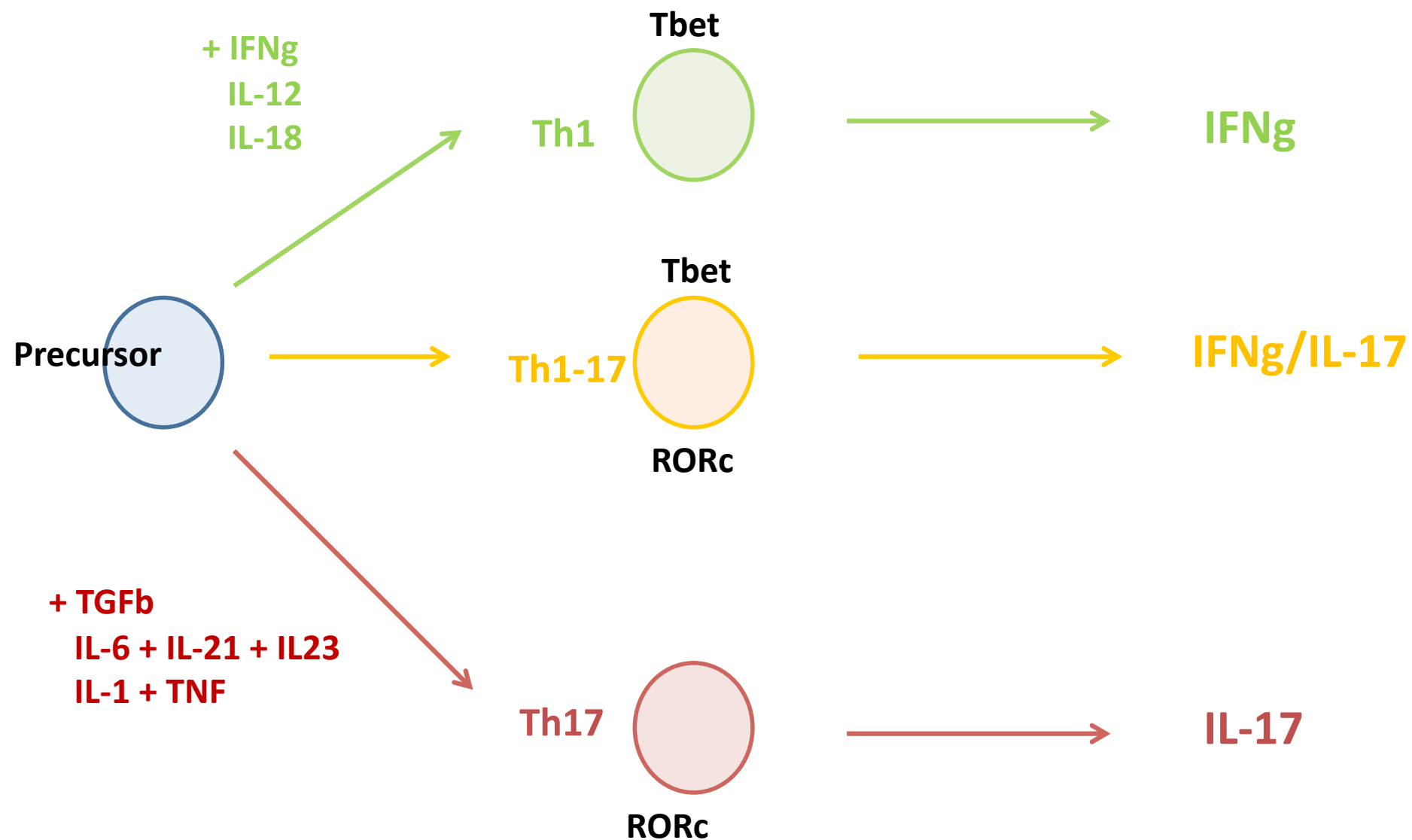


Cytokine concentrations in ocular fluids from BD uveitis decreased after infliximab

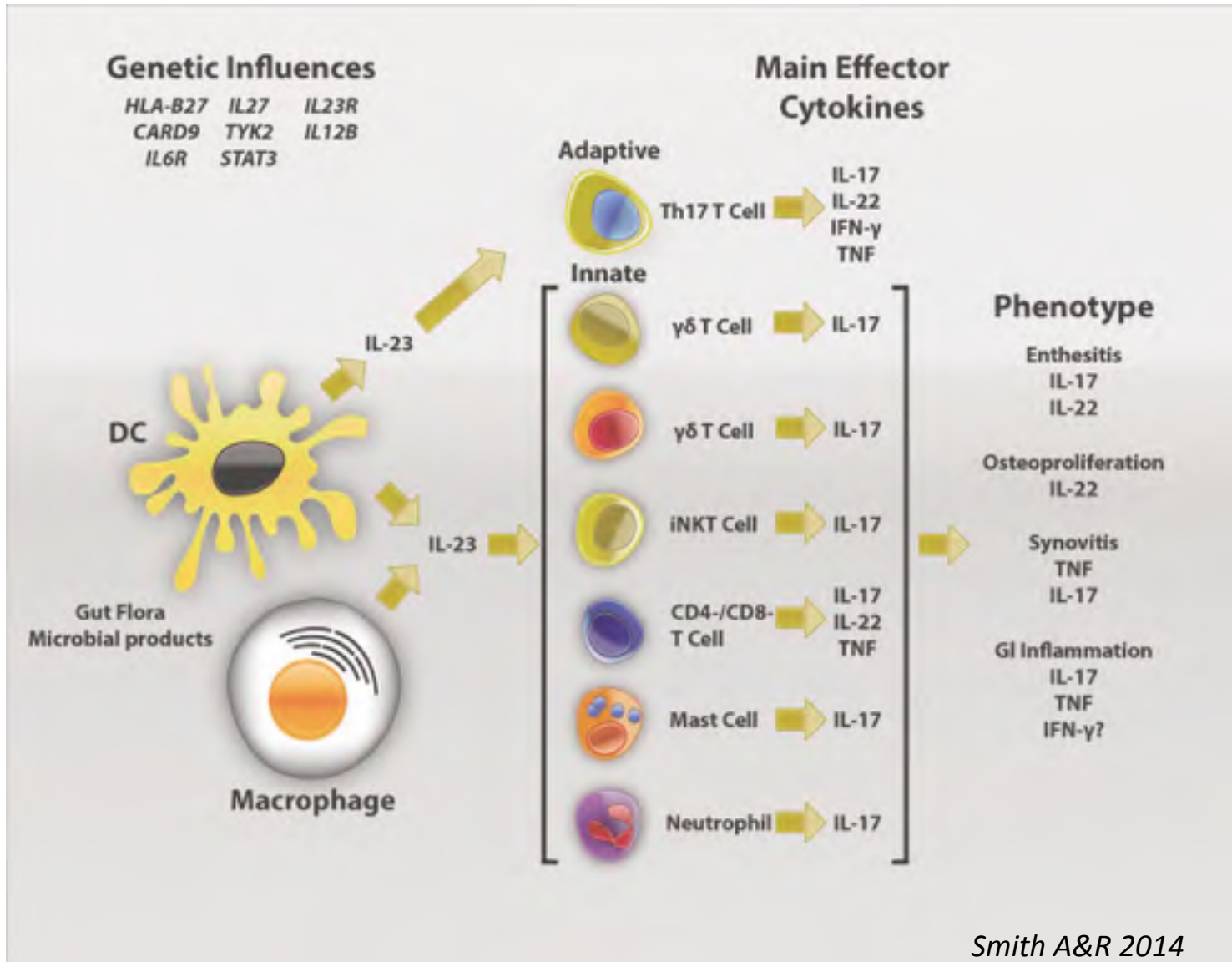


Decreased Th-17 in BD treated with infliximab

# A new population of T cells re-conciliates Th-1 and Th17 paradigms



# IL-17 is produced by Innate Immune Cells: gamma/delta T lymphocytes

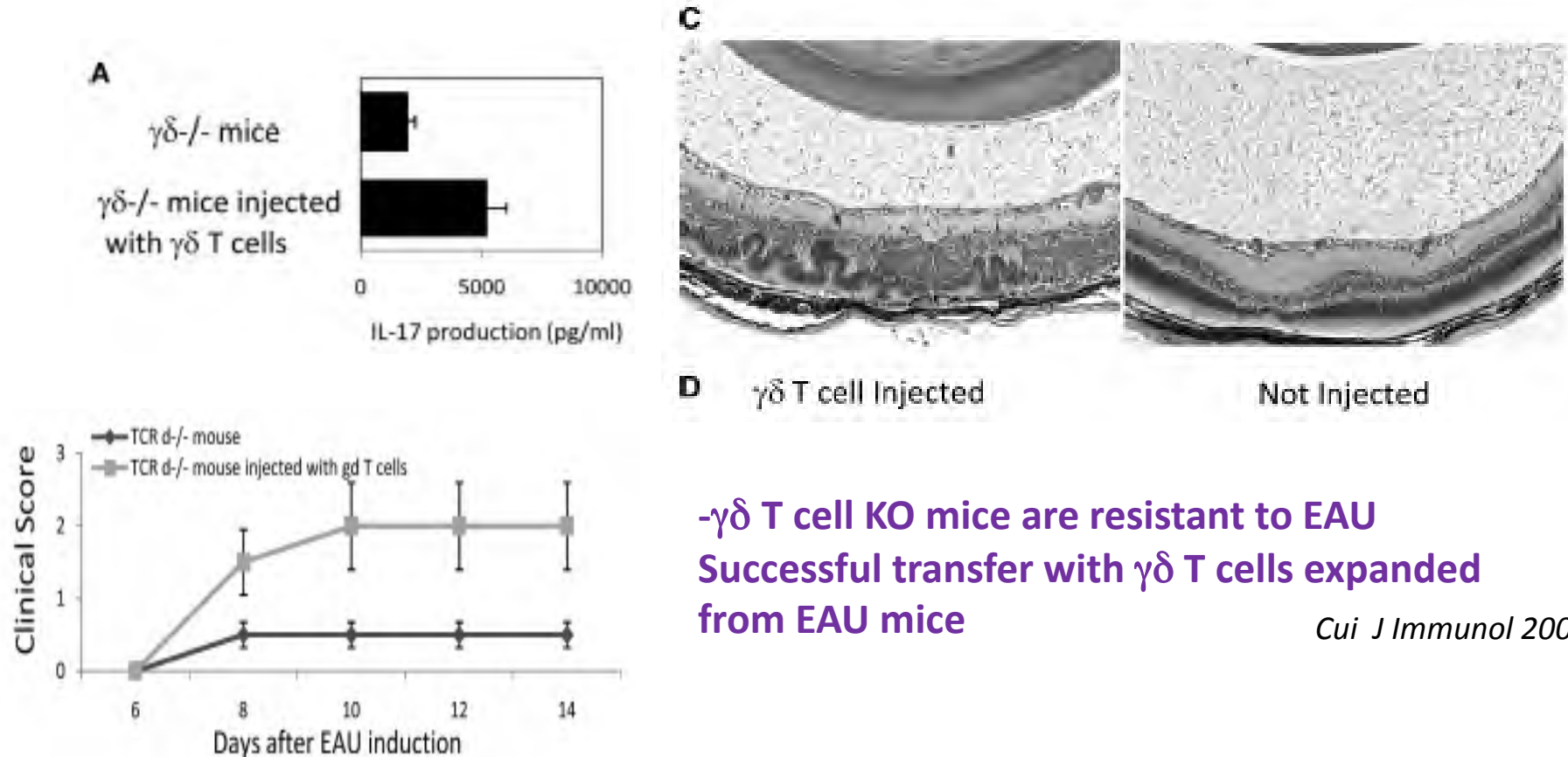


Smith A&R 2014

# **ROLE of gamma/delta LYMPHOCYTES in BD LINK WITH INNATE IMMUNITY**

- $\gamma\delta$  T cells are non conventional T cells derived from CD4-CD8- thymocytes, play a role in anti-infectious or stress-induced defenses , in mucosae
  - $\gamma\delta$  T cells express IL-17, CD44+, IL-23R+, IL-21R+, Dectin 1, TLR1 and TLR2
  - Increased  $\gamma\delta$  T cells in BD (*Fortune Clin Exp Immunol 1990; Hamazou J Rheumatol 1992; Suzuki J Rheumatol 1992*)
  - $\gamma\delta$  T cells in BD expressed an activated phenotype (CD69+), produced TNF $\alpha$  and IFN $\gamma$  (*Freysdottir Clin Exp Immunol 1999*)
  - Increased  $\gamma\delta$  T cells paralleled disease activity and proliferated with addition of oral ulcer sterile liquid (*Bank J Lab Clin Med 2003*)

# ROLE OF $\gamma\delta$ T CELLS IN BD UVEITIS



- $\gamma\delta$  T cell KO mice are resistant to EAU  
Successful transfer with  $\gamma\delta$  T cells expanded from EAU mice

*Cui J Immunol 2009*

- $\text{V}\gamma 9\delta 2$  T cells in ocular fluid of 50% of BD patients with uveitis, are CD69+, recognized non peptide pyrophosphate antigens and produced IFN $\gamma$

(Verjans J Neuroimmunol 2002; Triolo Arthr Res Ther 2002)

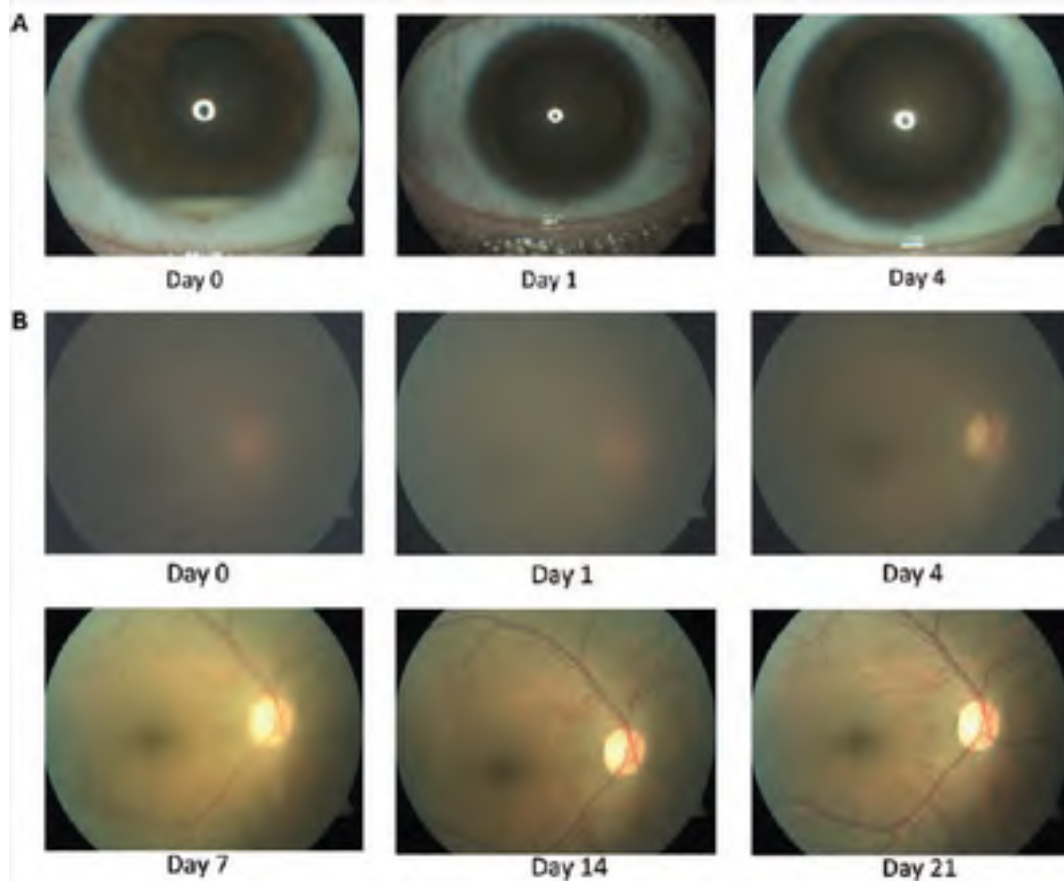
## ROLE OF IL-1 in BD-LINK WITH INNATE IMMUNITY

➤ XOMA 052 (anti-IL-1 $\beta$  mAb) in resistant uveitis of BD: open-label pilot study  
*(Gül Ann Rheum Dis 2012)*

7 Patients with acute posterior or panuveitis and/or retinal vasculitis resistant to immunosuppressive drugs received a single IV XOMA 0.3 mg/kg injection + Pred 10mg/j

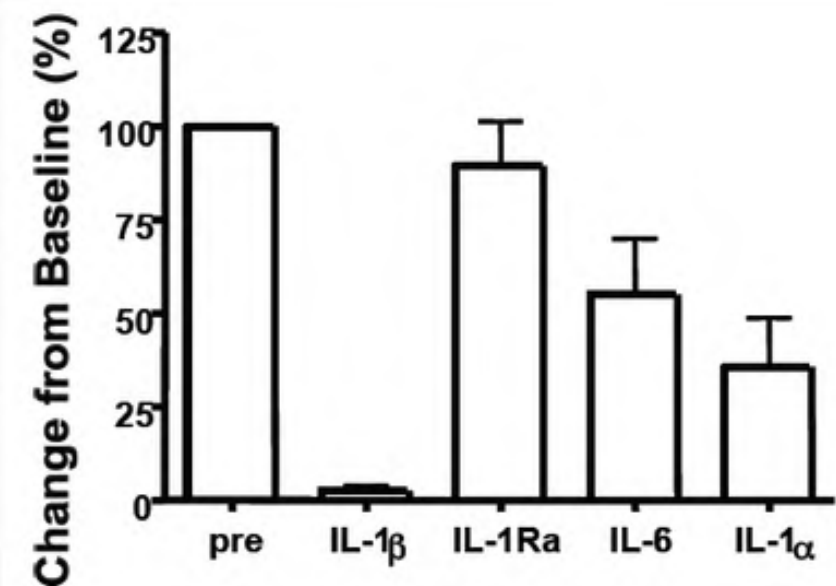
- Good tolerance
- Rapid improvement in visual acuity (start at day 1), intra-ocular inflammation (4-21 days)  
Fluorescein angiogram improvement (40-75%)
- Response duration after a single injection (mean: 49 days)
- 100% responders to a 2<sup>nd</sup> infusion for a median of 115 days
- 100% discontinuation of Immunosuppressive drugs and decrease corticosteroids
- Decreased IL-1 $\alpha/\beta$ , IL-6 production by PBMC ex vivo

➤ XOMA 052 in resistant uveitis of BD: open-label pilot study  
(Gül Ann Rheum Dis 2012)



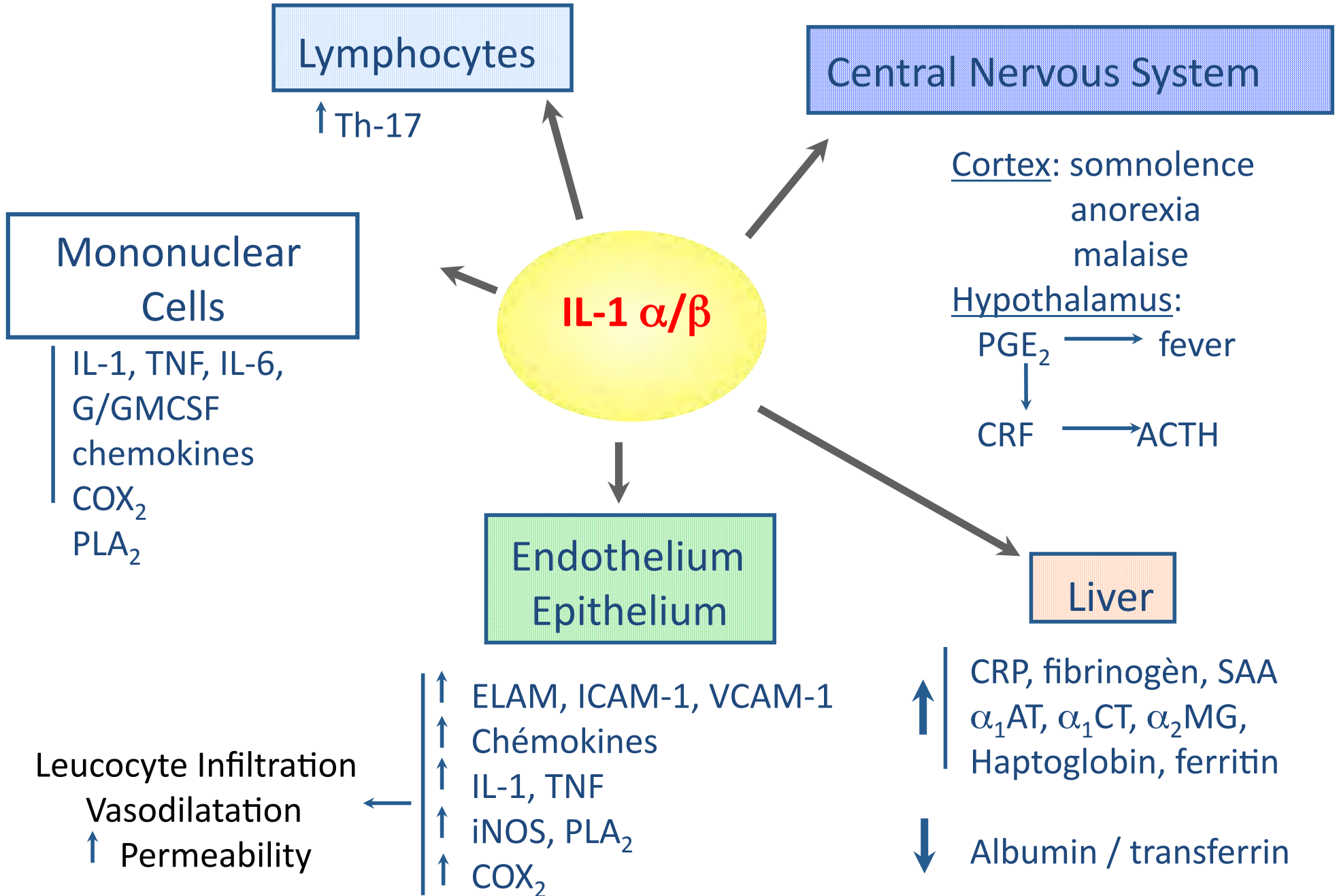
Anterior eye

Retinal



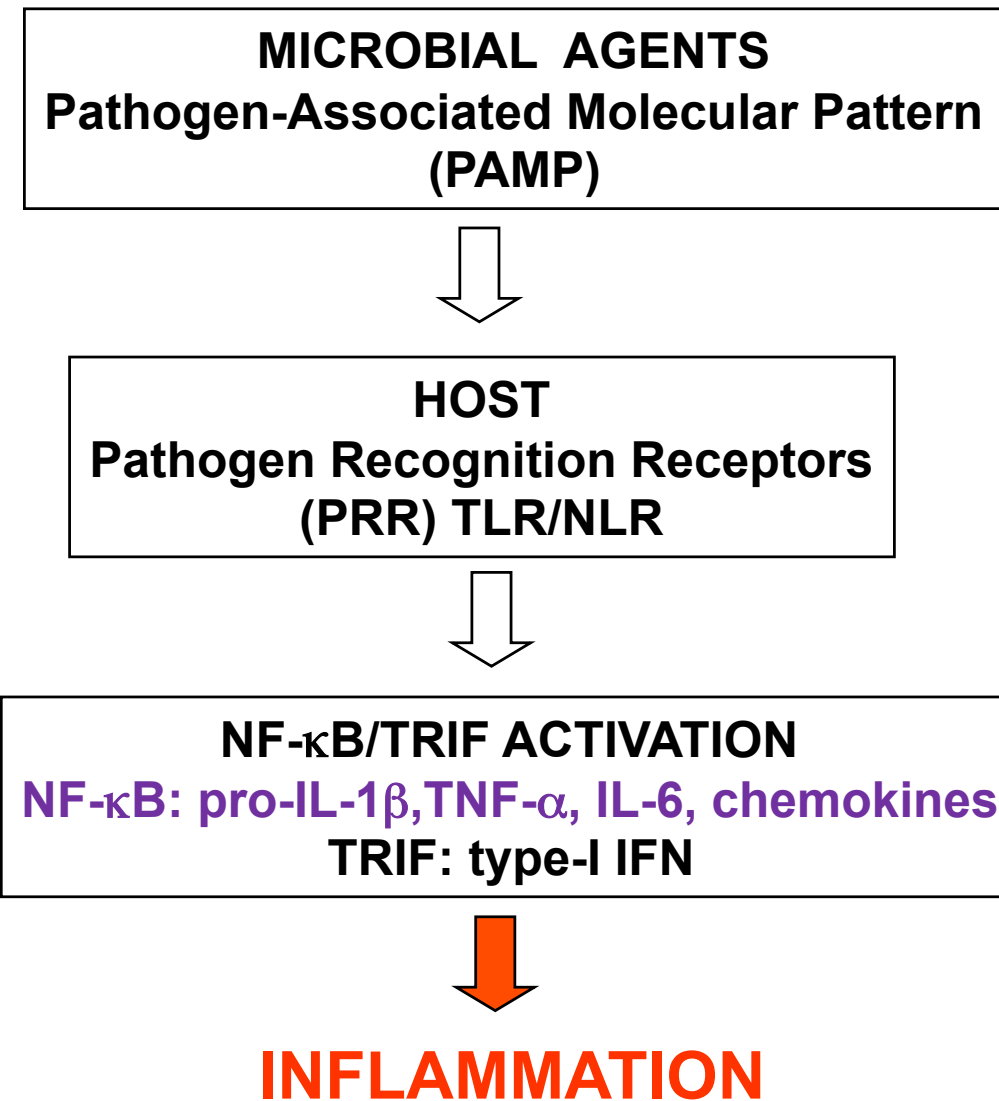
# IL-1 FAMILY

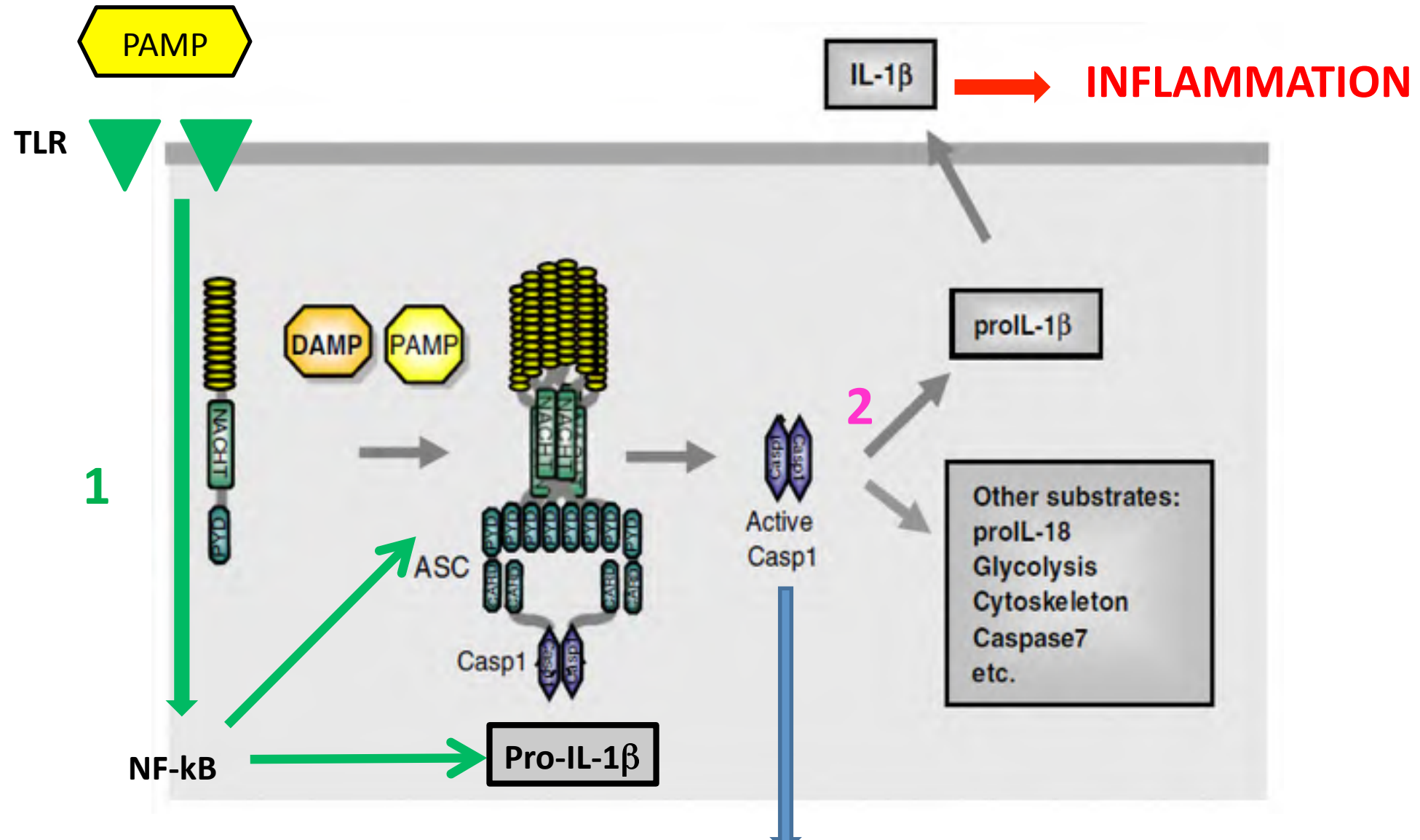
New name	Other name	Receptor	Co-receptor	Property
IL-1F1	<u>IL-1<math>\alpha</math></u>	IL-1RI	IL-1RAcP	Pro-inflammatory
IL-1F2	<u>IL-1<math>\beta</math></u>	IL-1RI	IL-1RAcP	Pro-inflammatory
IL-1F3	<u>IL-1Ra</u>	IL-1RI	n.a.	Receptor antagonist (IL-1 $\alpha$ ; IL-1 $\beta$ )
IL-1F4	<u>IL-18</u>	IL-18R $\alpha$	IL-18R $\beta$	Pro-inflammatory
IL-1F5	FIL1 $\delta$	IL-1Rrp2	n.a.	Receptor antagonist (IL-1F6, 8, 9)
IL-1F6	FIL-1 $\epsilon$	IL-1Rrp2	IL-1RAcP	Pro-inflammatory
IL-1F7	IL-1H4	IL-18R $\alpha$	Unknown	Anti-inflammatory
IL-1F8	IL-1H2	IL-1Rrp2	IL-1RAcP	Pro-inflammatory
IL-1F9	IL-1 $\epsilon$	IL-1Rrp2	IL-1RAcP	Pro-inflammatory
IL-1F10	IL-1Hy2	Unknown	Unknown	Receptor antagonist (?)
IL-1F11	IL-33	ST2	IL-1RAcP	Th2 responses



Adapted from Dinarello, *N Engl J Med* 1990

# INFECTION-INDUCED INFLAMMATION

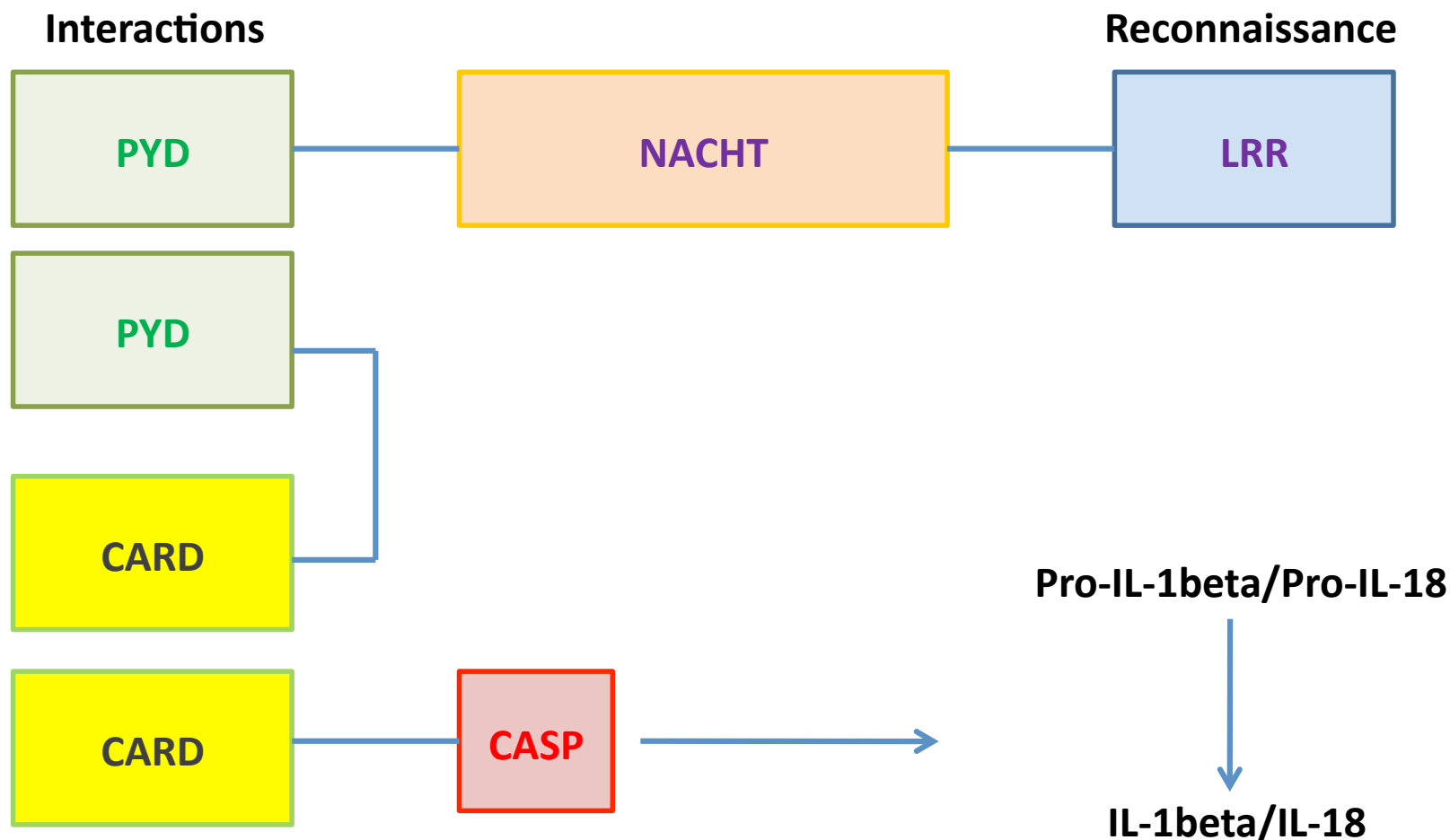




INFLAMMASOME NLRP-3  
2 step activation  
(Tschopp, Eur J Immunol 2010)

PYROPTOSIS

# NLRP3 INFLAMMASOME



## ➤ IL-1 in BD

### ❖ Increased IL-1 $\beta$ concentrations in serum/ Synovial fluid of BD patients

(Hamzaoui *J Rheumatol* 1990, Yosipovitch *Isr Med Sci* 1995, Düzgun *Rheumatol Int* 2005)

- Low concentrations
- Conflicting data (*Saniyalp, J Rhumatol* 1996)
- No association with disease activity

### ❖ Moderate increased IL-1Ra concentrations in serum or synovial fluid of BD patients

(Düzgun *Rheumatol Int* 2005, Ertenli *Clin Exp Rheumatol* 2001)

- No association with disease activity

### ❖ Increased IL-1 $\beta$ production by active BD mononuclear cells after LPS stimulation

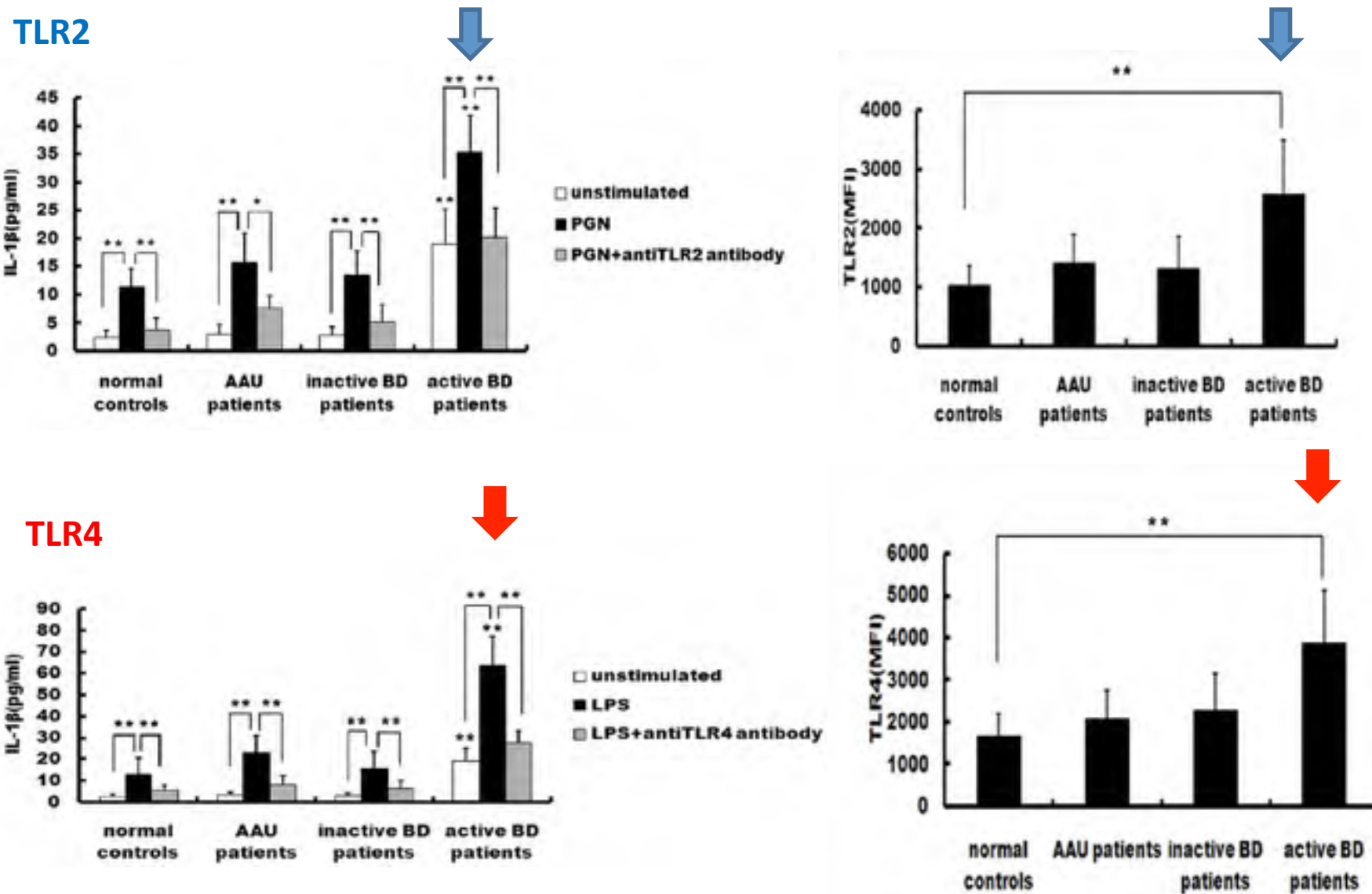
(Mege *J Rheumatol* 1993, Liang *IOVS* 2013, Castrichini *Eur J Immunol* 2014)

### ❖ Due to IL-1 gene polymorphisms? conflicting data

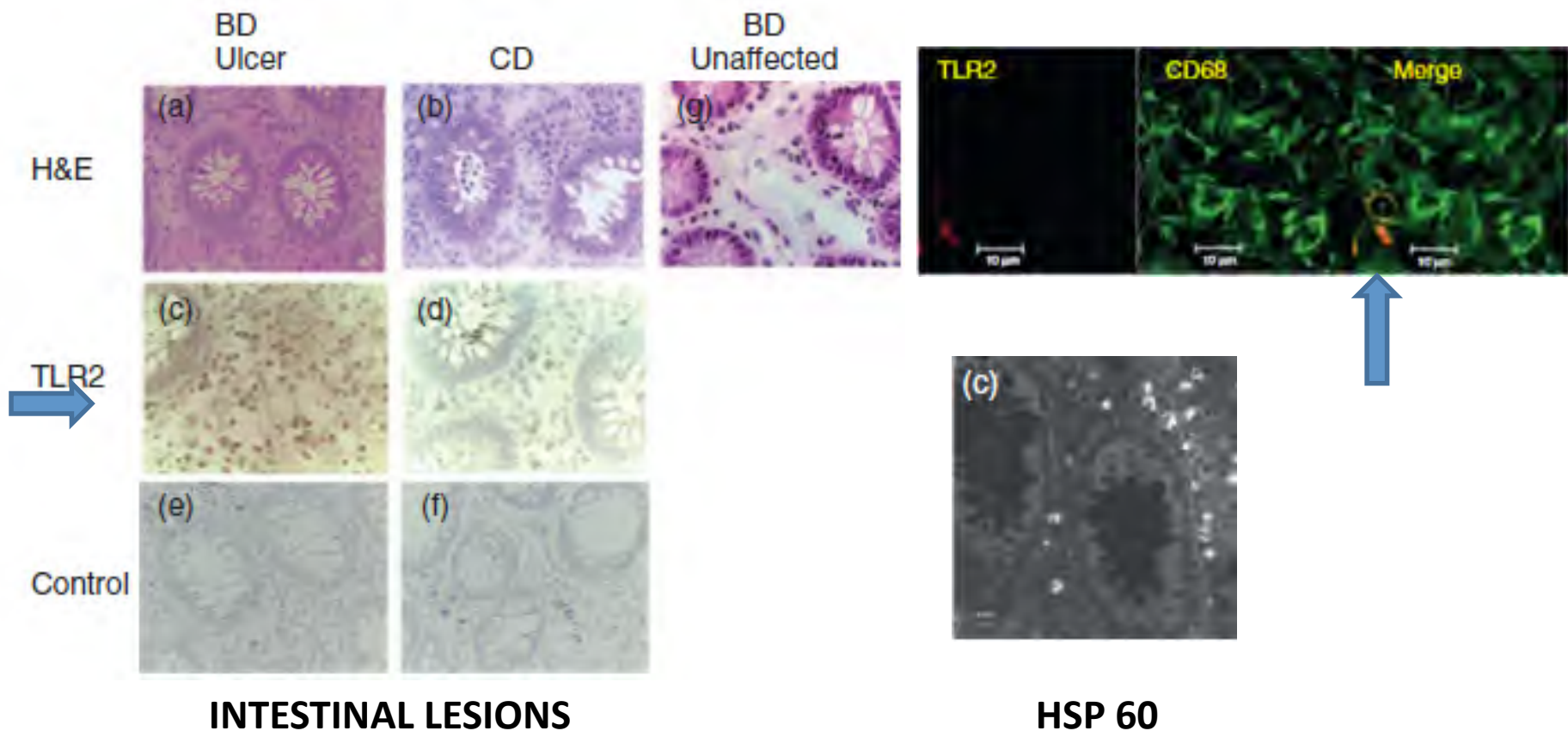
Association of BD with snp: IL-1A -889CT, IL-A -889TT, IL-1B +3962C, T, CC, CT, IL-1RA mspa 1100TT, 1100CT in Turkish population

(Zhou *Mol Rheumatol* 2014: Meta-analysis)

# INCREASED IL-1 $\beta$ PRODUCTION BY BD MONOCYTES IS MEDIATED BY INCREASED TLR 2/4 EXPRESSION



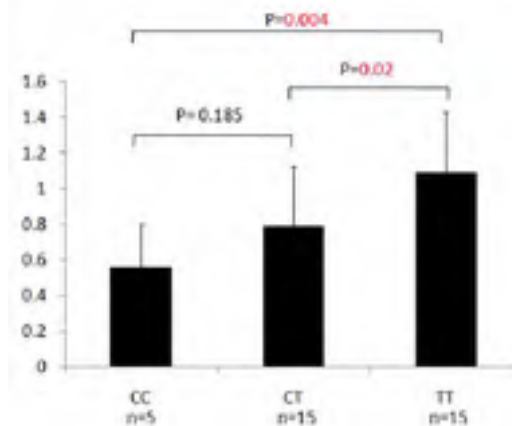
# INCREASED MONOCYTE TLR2/4 EXPRESSION IN INFLAMED TISSUES OF BD



*Nara Clin Exp Immunol 2008*

# TLR-2/4 POLYMORPHISMS IN BD LINK WITH INNATE IMMUNITY

➤ Polymorphisme du gène de TLR2, mais pas TLR 4, 8, 9 chez 400 BD chinois avec uvéite (Fang, IOVS 2013): association à une augmentation de l'expression de TLR2, mais pas de la réponse inflammatoire

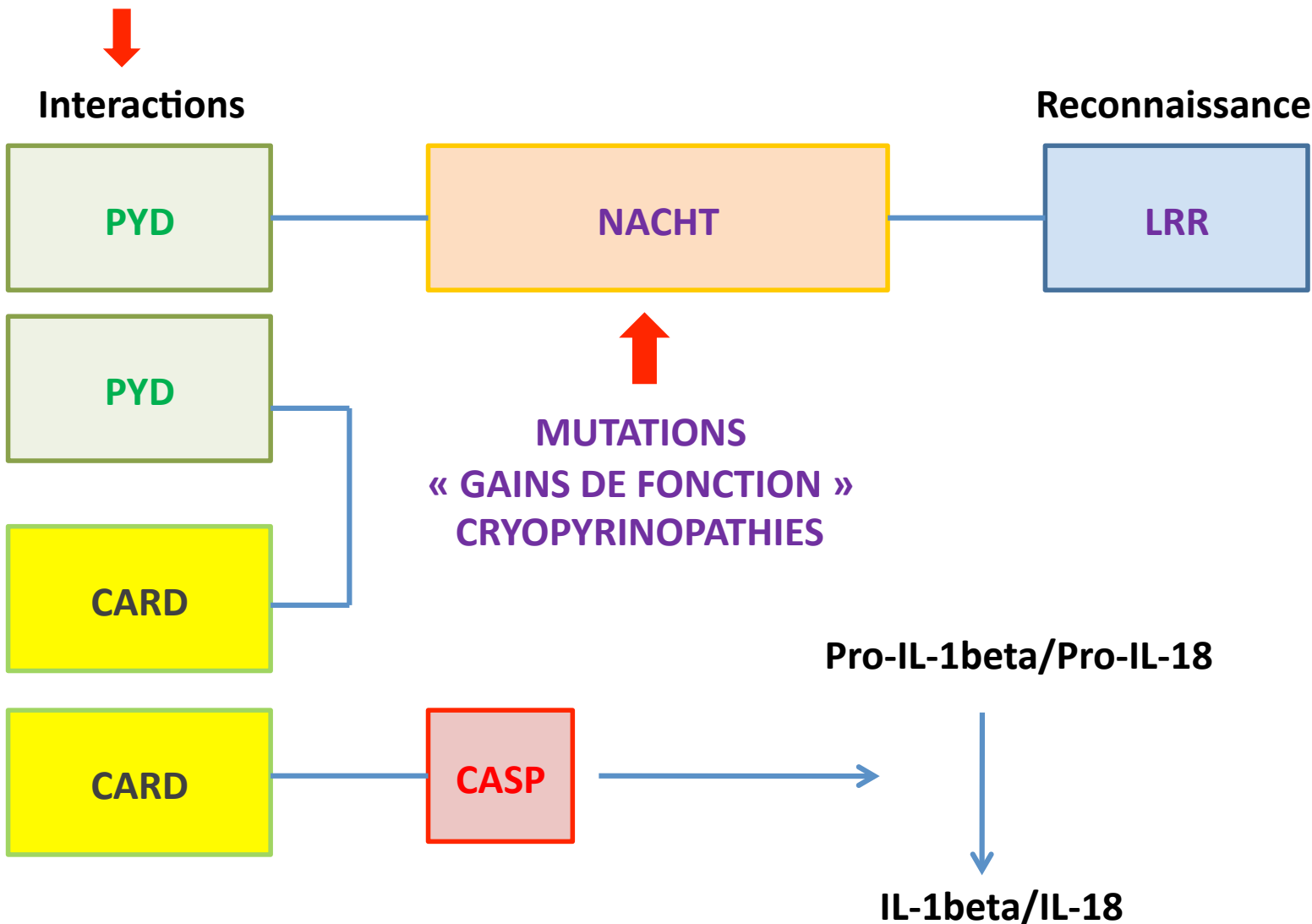


➤ Snp du gène de TLR4 (récepteur du LPS) chez BD japonais et turcs (Kirino, PNAS 2014)



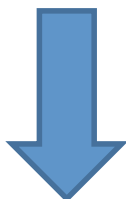
# MUTATIONS DE MEFV AU COURS DE BD

FMF  
MUTATIONS MEFV



## MUTATIONS DE MFEV AU COURS DE BD

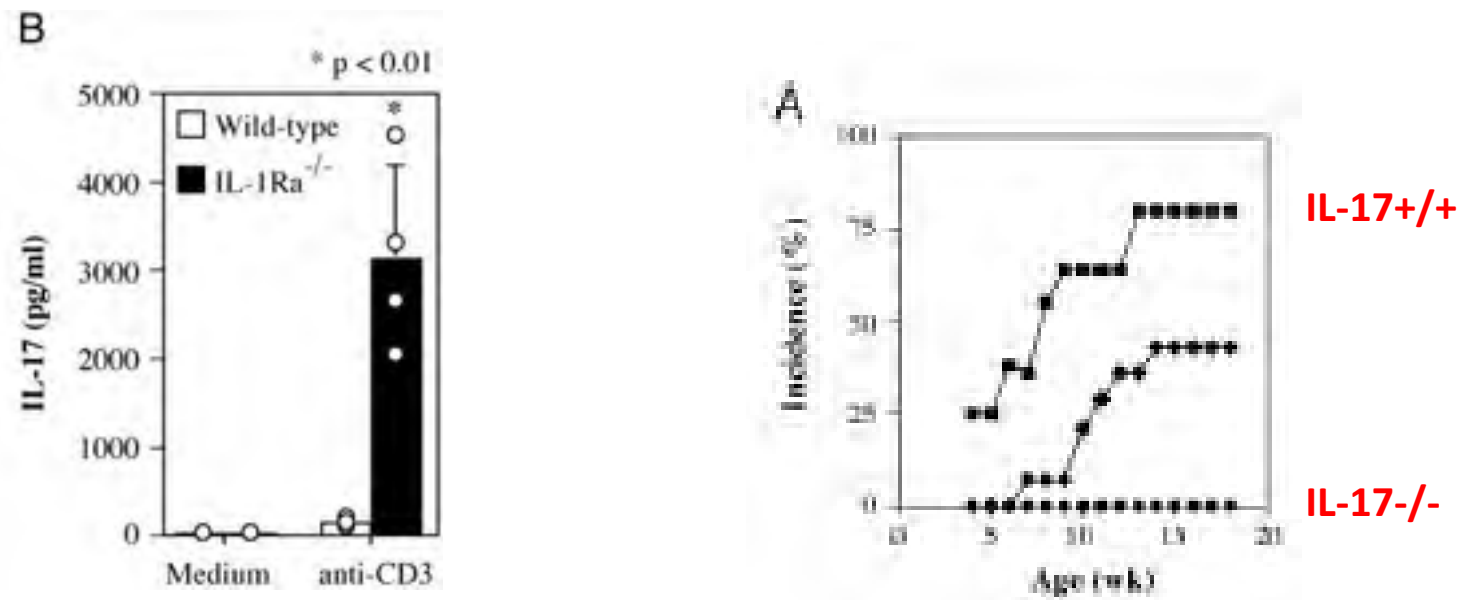
- M694V chez 7% des BD, E148Q chez 10% des BD Turcs, arabes, sépharades  
(Touitou, Hum Mutation 2000)
- M694V chez BD turcs (Kirino, PNAS 2014)
- Mutations de la PYRINE(MEFV) induisent un état pro-inflammatoire dépendant de l'IL-1 $\beta$  chez l'animal  
(Chae, Immunity 2011)



LIENS ENTRE BD ET IMMUNITE INNÉE

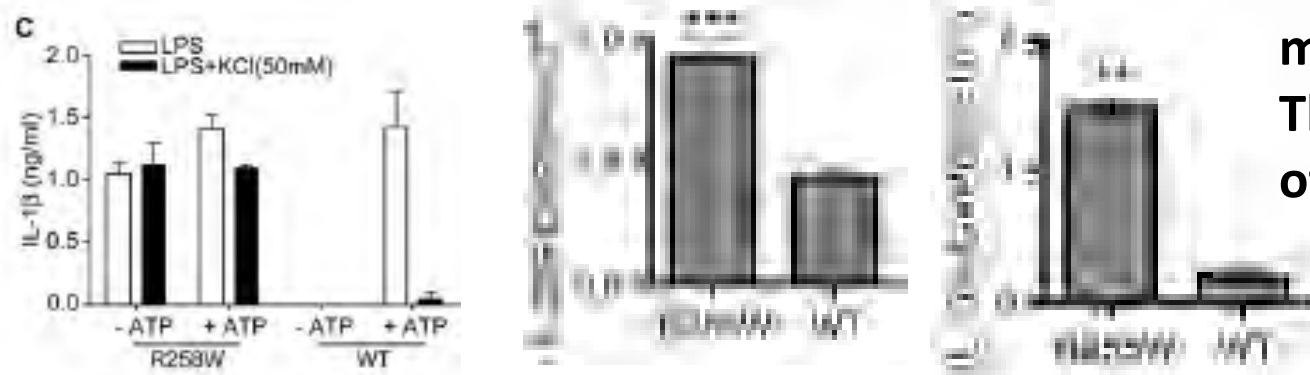
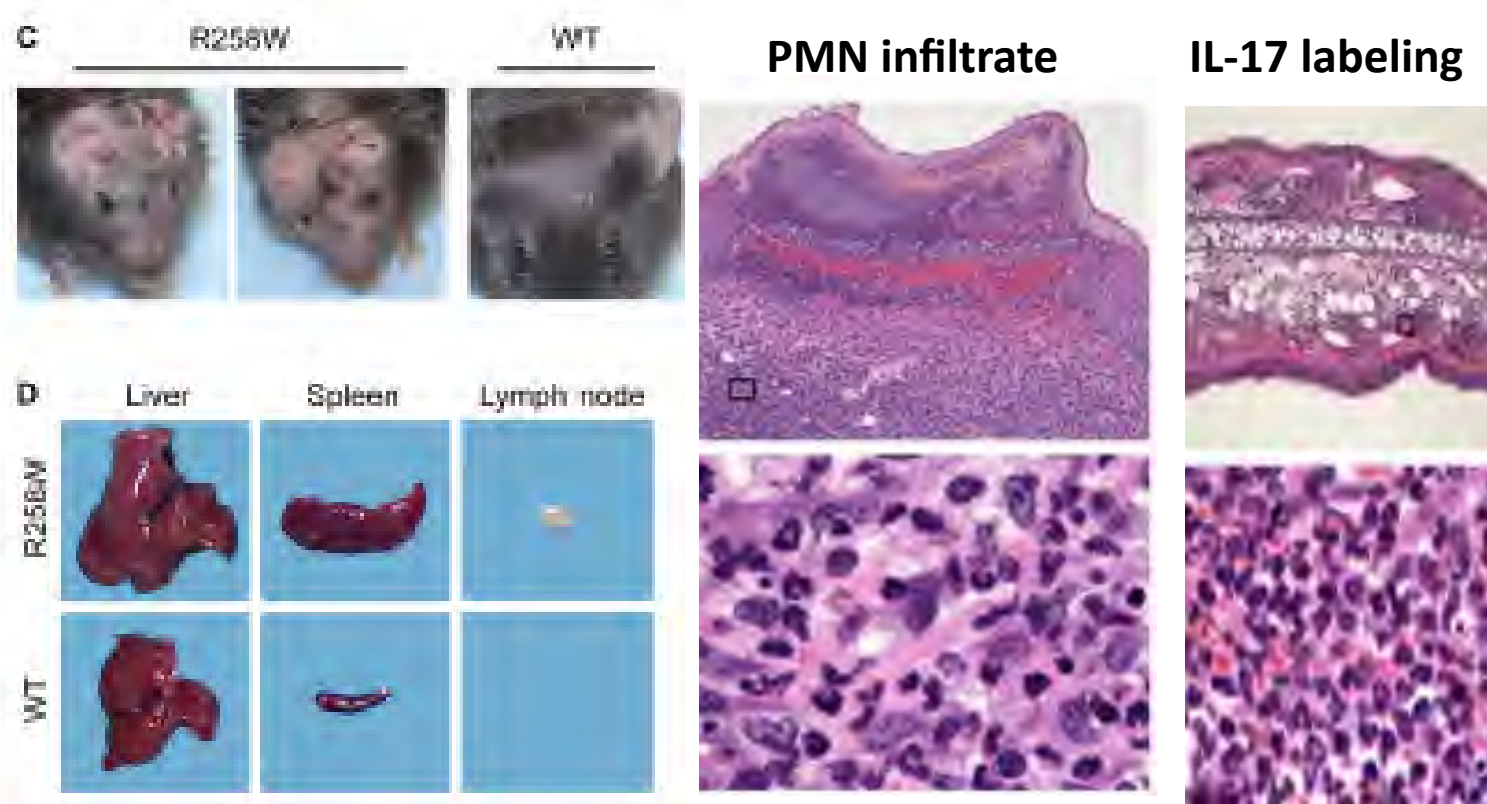
# IL-1 AND THE IL-23/IL-17 axis

IL-17 is required downstream of IL-1 to induce arthritis in IL-1Ra KO mice



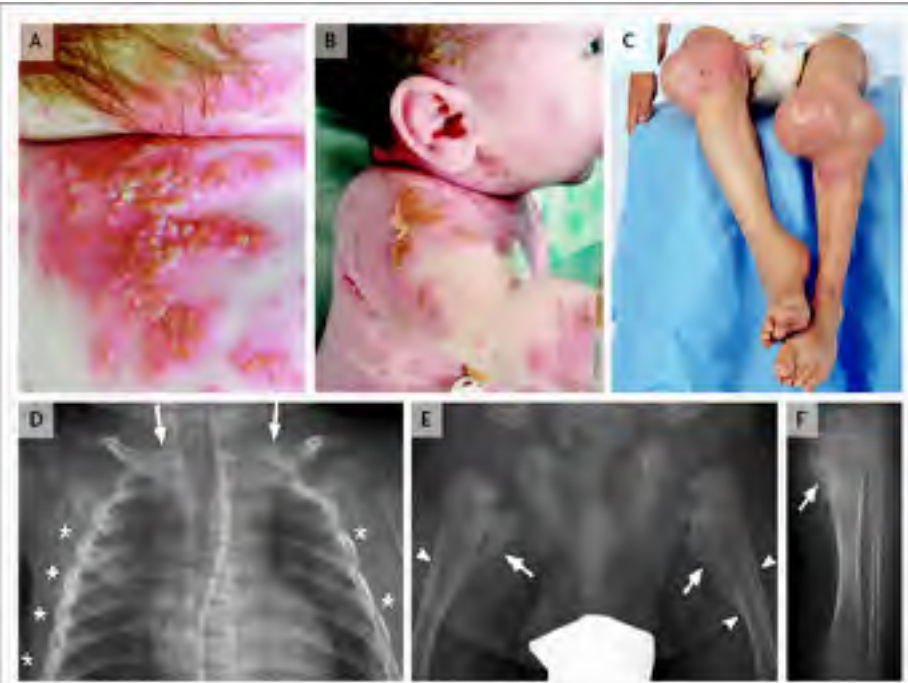
Nakae PNAS 2003  
Koenders A&R 2008  
Lamacchia A&R 2010

# IL-1 AND THE IL-23/IL-17 AXIS

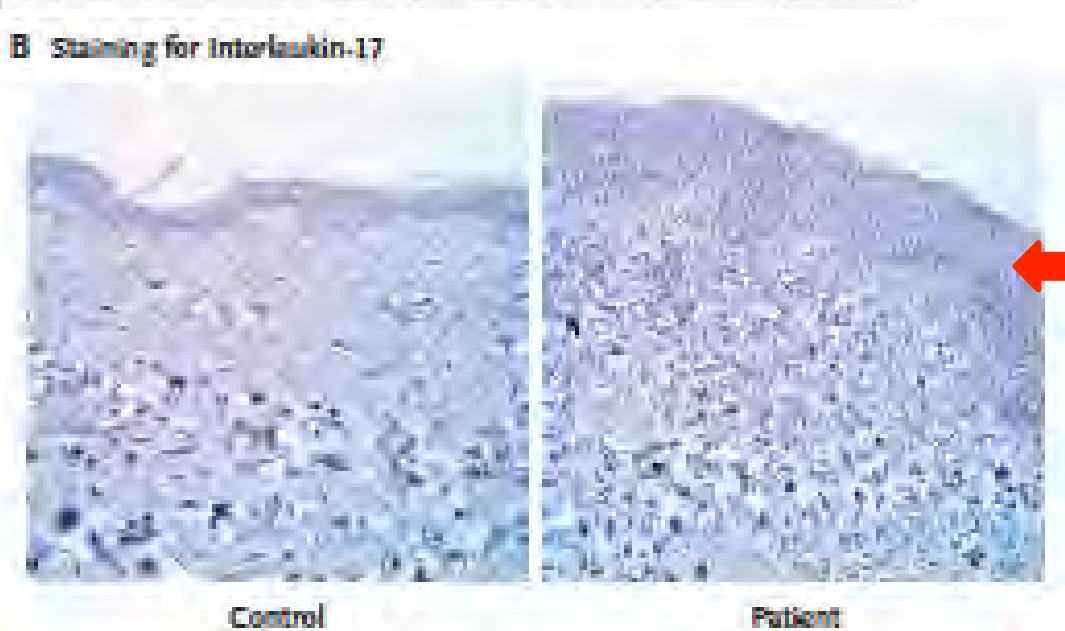


Muckle-Wells animal model reveals excess Th-17 response downstream of IL-1

# ROLE OF IL-1 IN THE IL-23/IL-17 AXIS



B Staining for Interlaukin-17

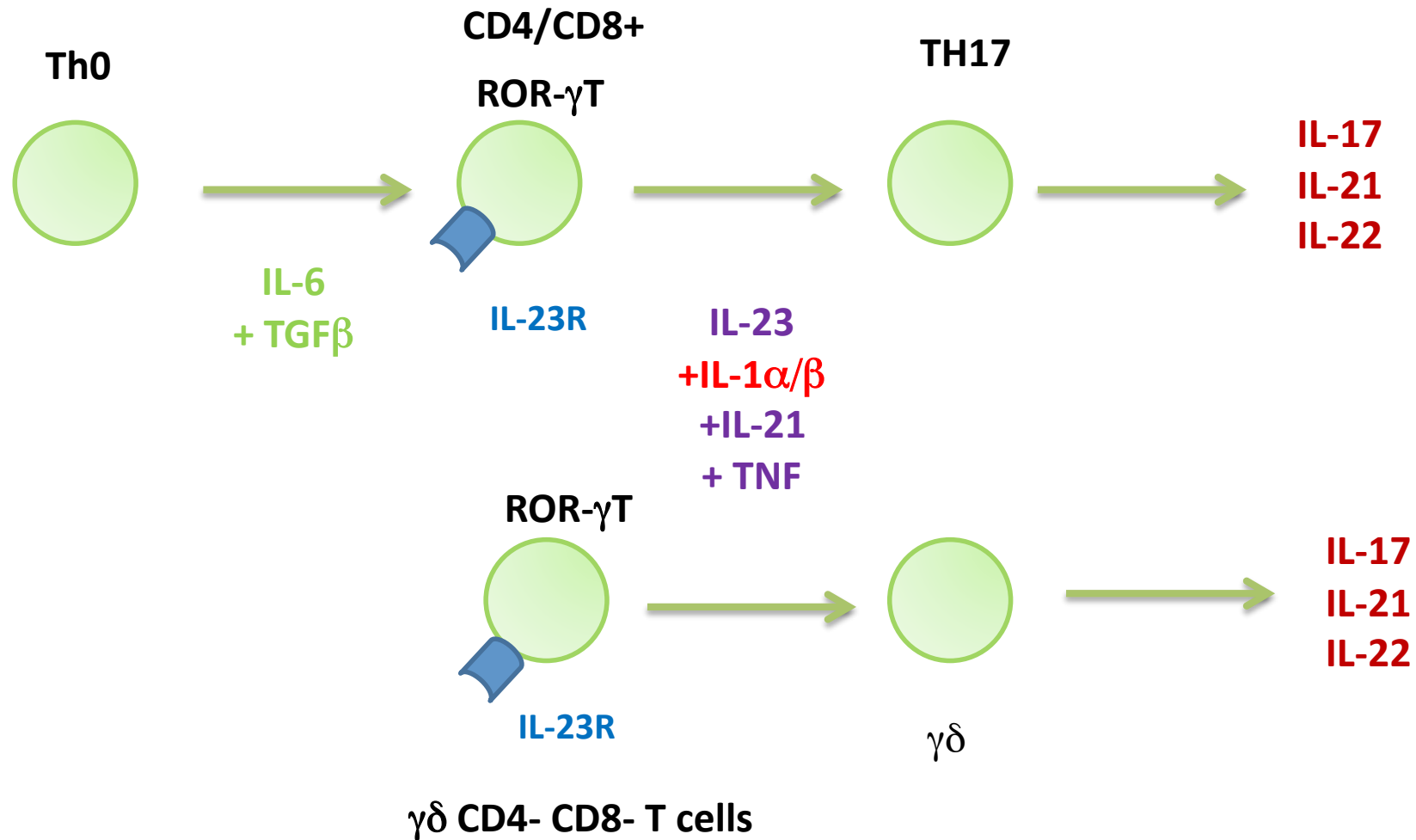


INCREASED IL-17 EXPRESSION  
IN PATIENTS WITH  
DEFICIENCY OF IL-1Ra (DIRA)

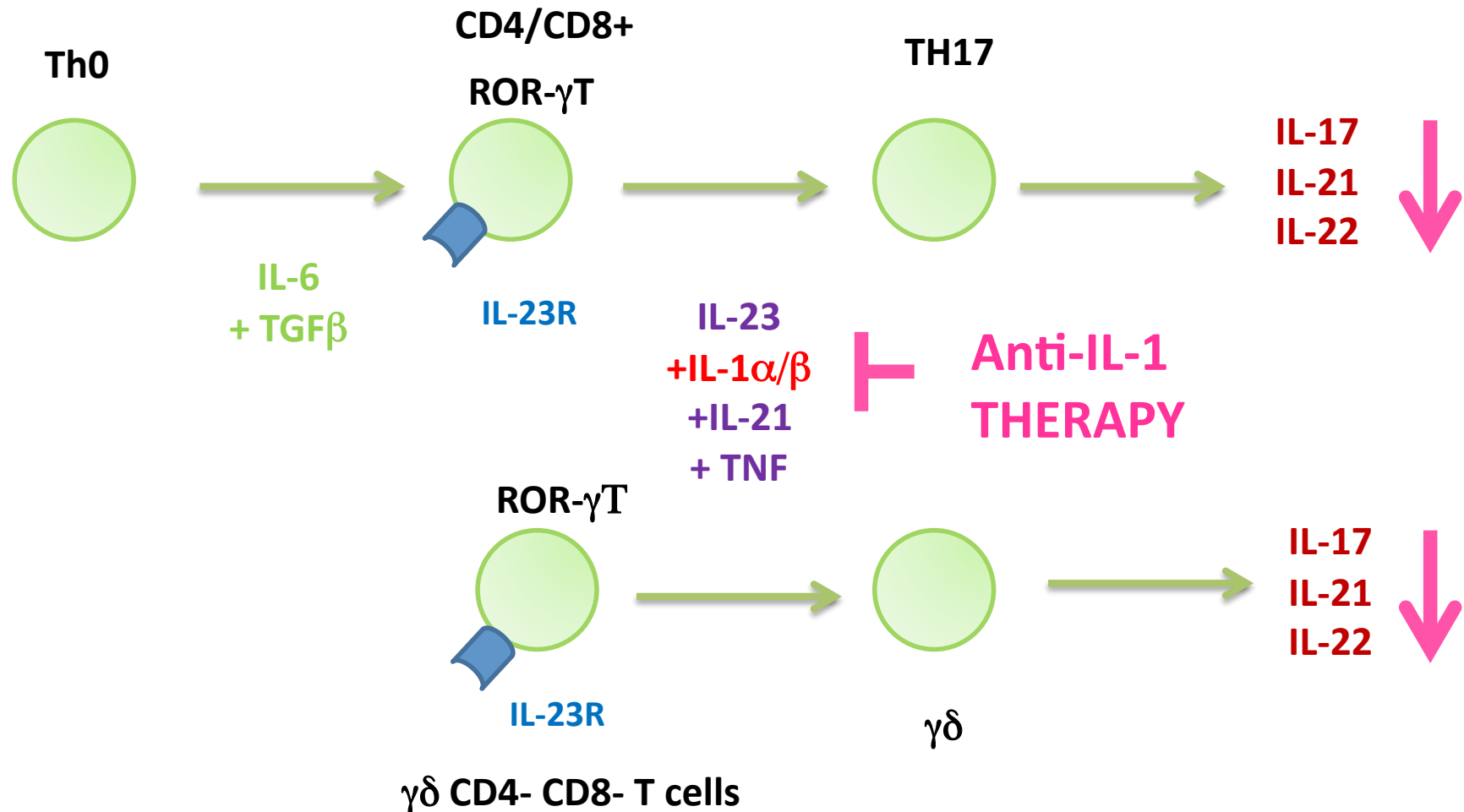
(Aksentijevich, *N Engl J Med* 2009)

IL-17 in skin biopsy

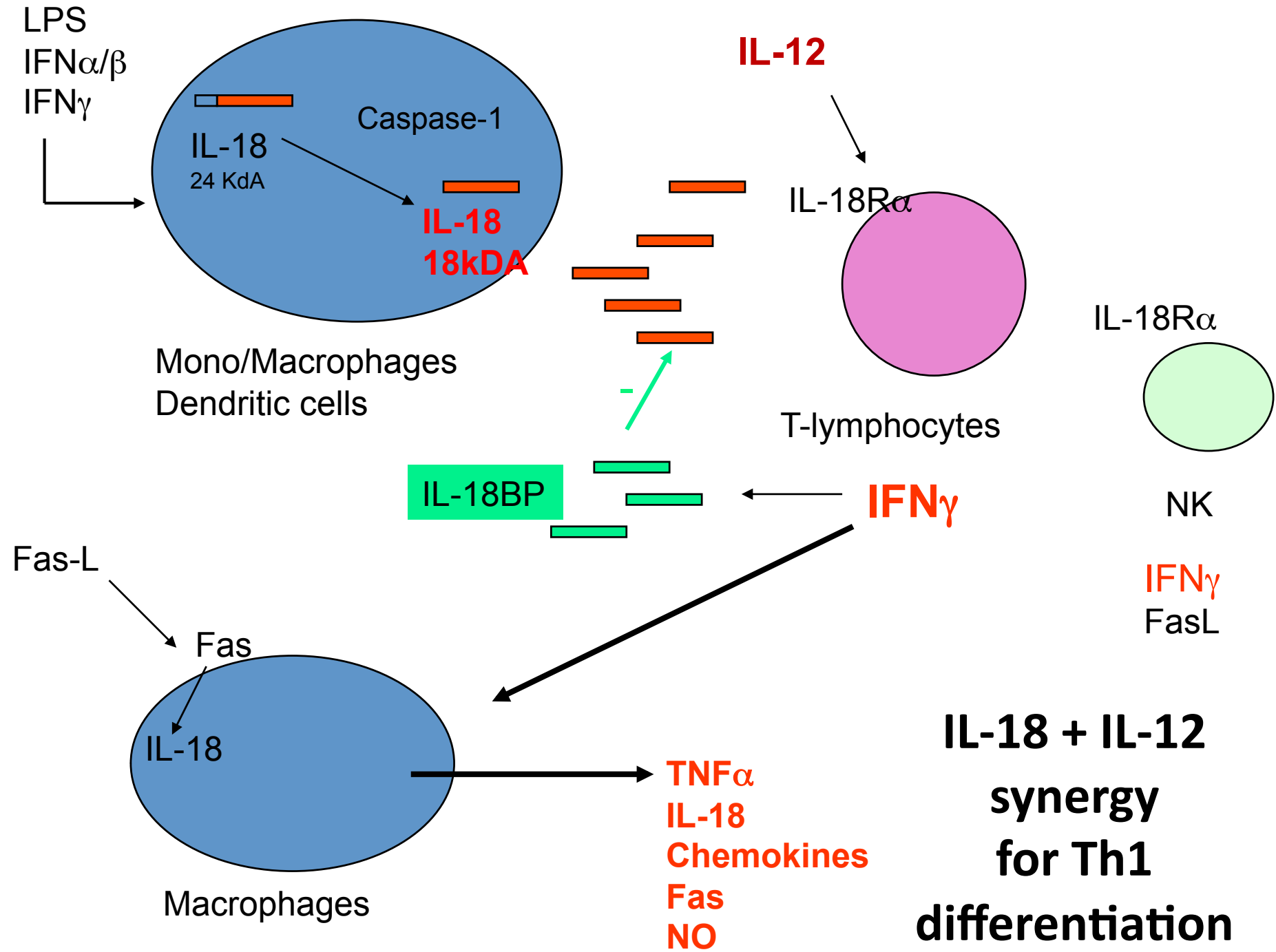
# IL-1 synergizes with IL-23 to induce IL-17 secretion by CD4 T cells and $\gamma\delta$ T cells



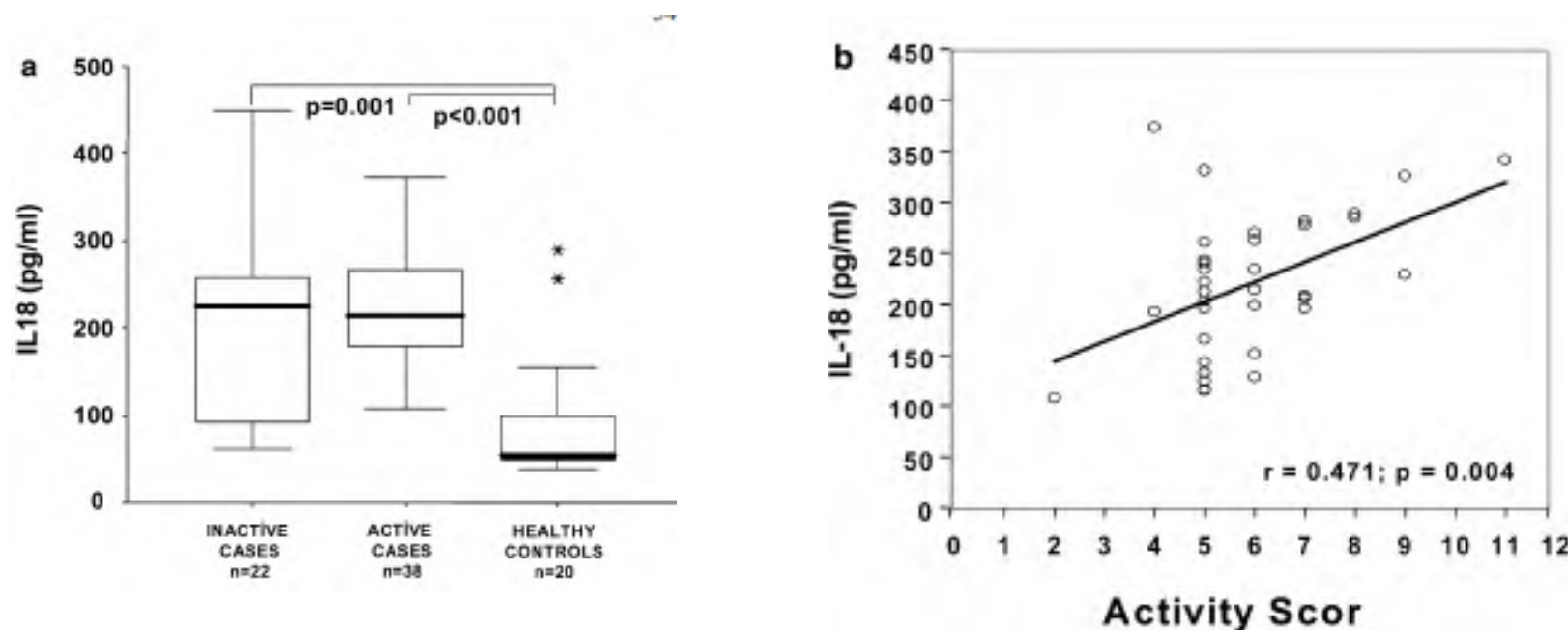
# ANTI-IL-1 THERAPY INHIBITS IL-17-MEDIATED EFFECTS



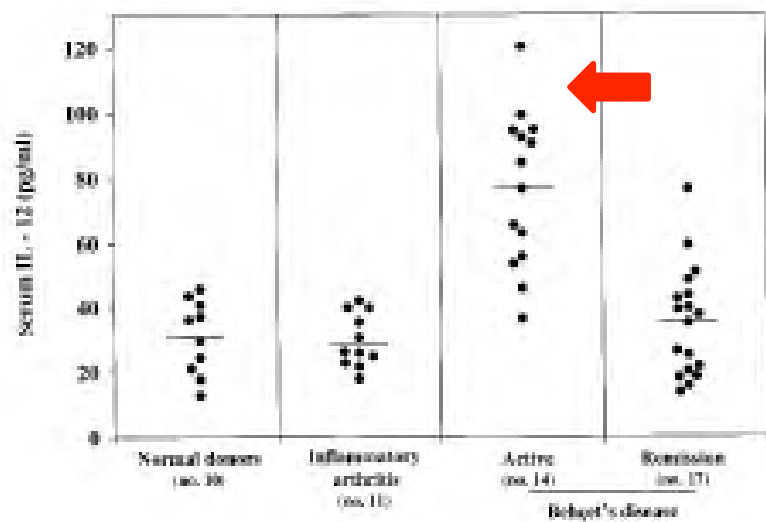
Sutton Immunity 2009; Martin Immnuity 2009



# IL-18 and IL-12 in BD

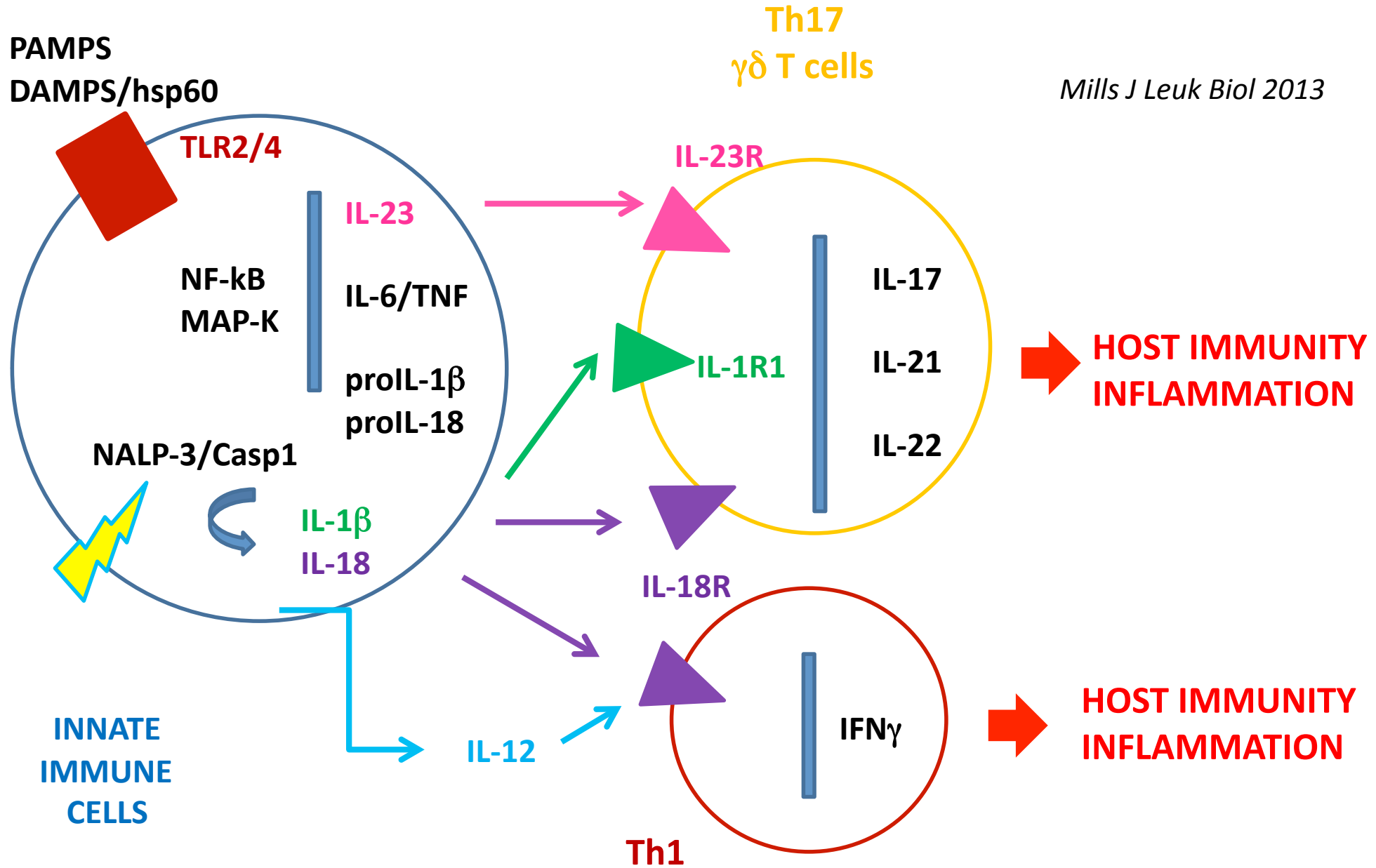


**Increased IL-18 concentrations in serum of active and inactive BD patients**  
(*Oztas Exp Dermatol 2005; Musabak Rheumatol Int 2006*)

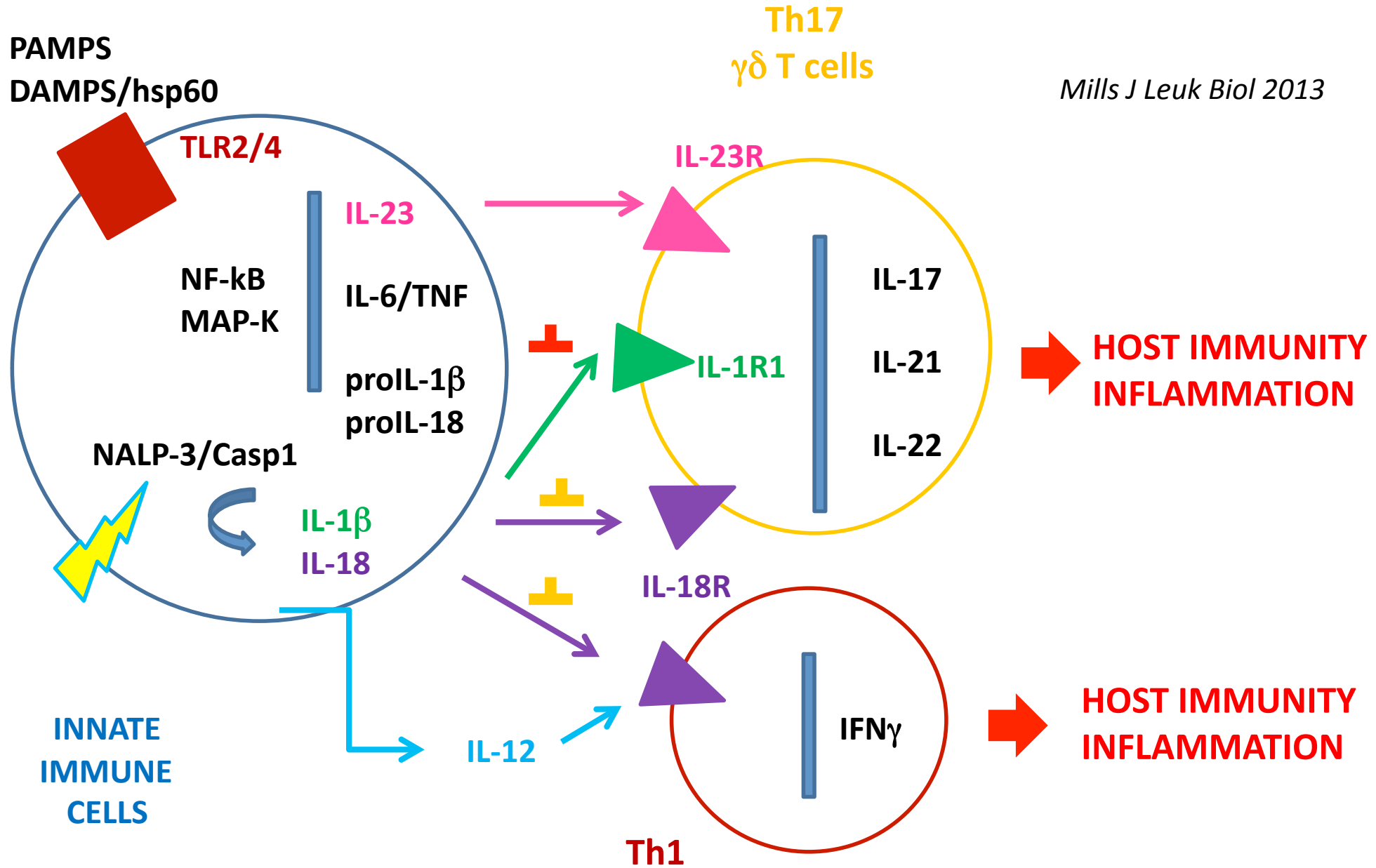


**Increased IL-12 concentrations in serum of active BD** (*Frassanito A&R 1999*)

# CASPASE-1 PROCESSED CYTOKINES DRIVE Th1 and Th17 RESPONSES



# CASPASE-1 PROCESSED CYTOKINES DRIVE Th1 and Th17 RESPONSES



# CONCLUSIONS

La physiopathologie de la maladie de BEHCET implique des facteurs environnementaux et génétiques influant sur:

➤ L'immunité adaptative:

Liens avec HLA-B51/ERAP-1

Immunité croisée entre *s. sanguis*, HSP-65 et HSP-60

Excès de réponse TH-1 vs TH-2 et excès de TH-17 vs Treg

Mais aussi

➤ L'immunité innée:

Défaut de clearance des agents infectieux

Rôle des lymphocytes T  $\gamma\delta$

Sur ou sous-expression expression de TLR2/4

Excès d'activation de la voie caspase-1 (liens avec FMF)

Excès de production d'IL-1, IL-18 qui activent Th-17 et Th-1

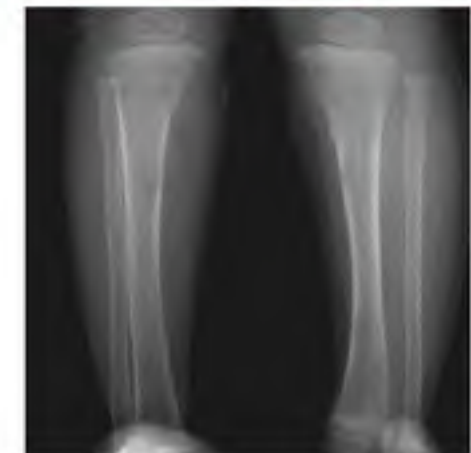
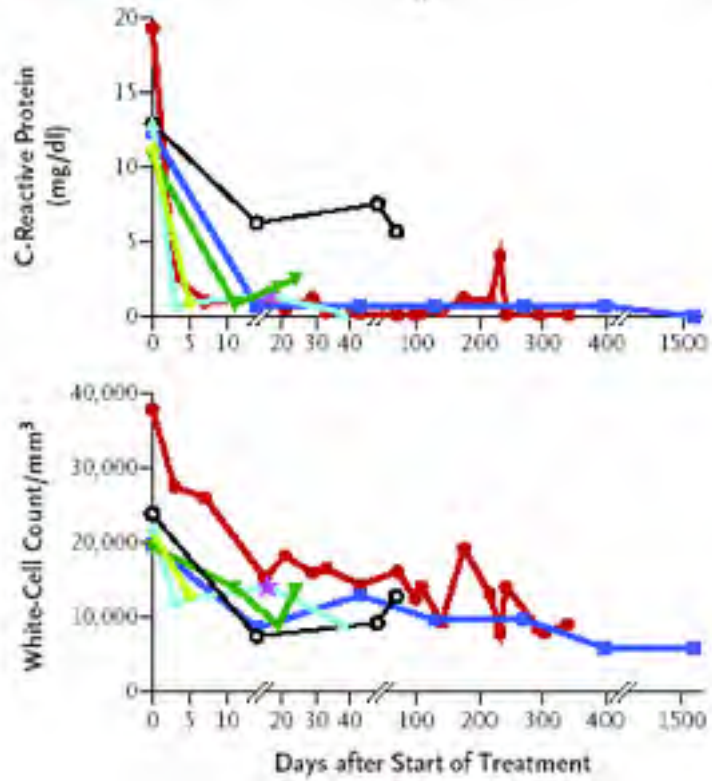
Nouvelles thérapeutiques: anti-TNF, anti-IL-1, caspase1? TLR?.....











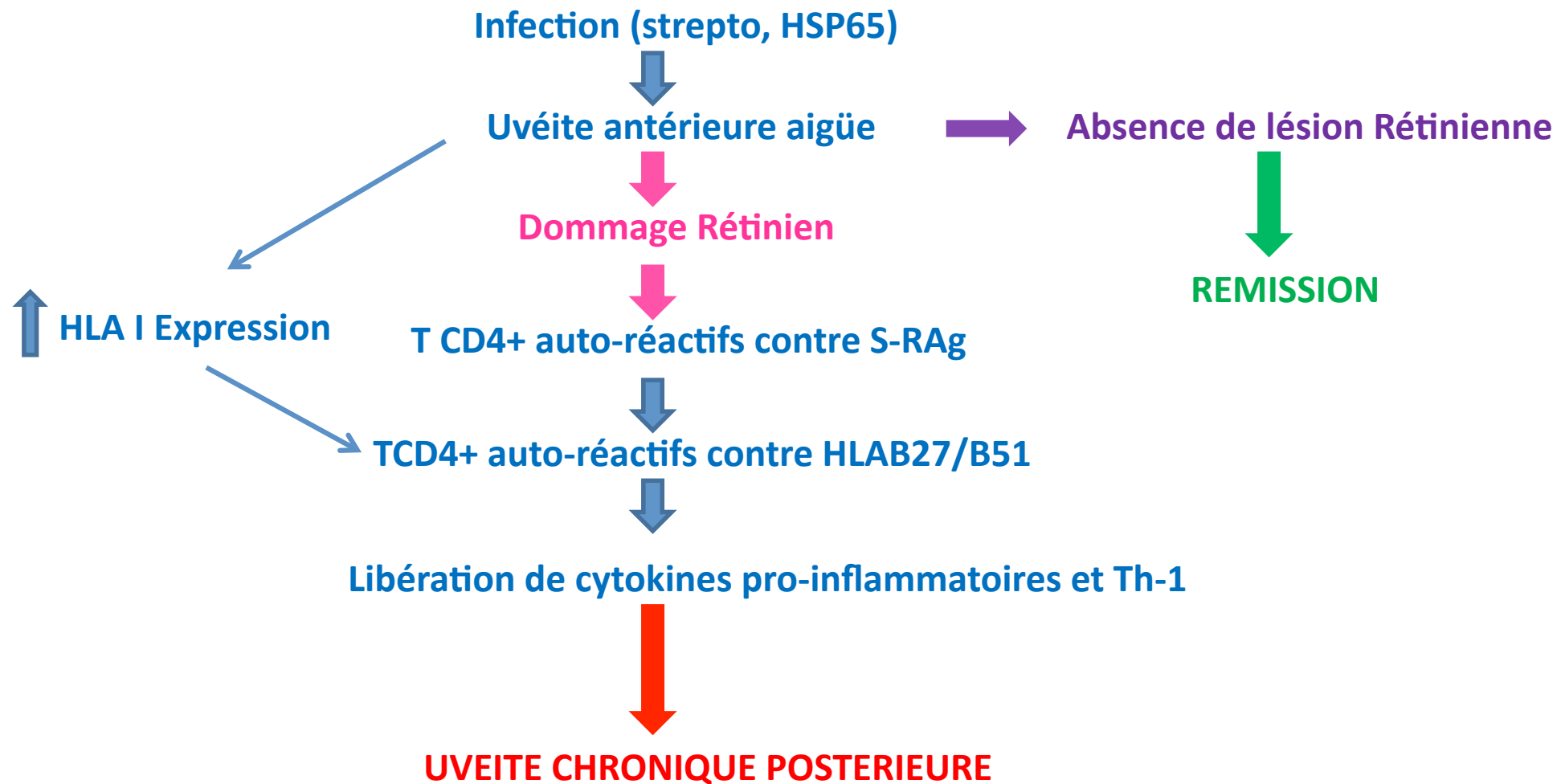
**DIRA TREATMENT  
WITH  
KINERET (IL-1ra)**

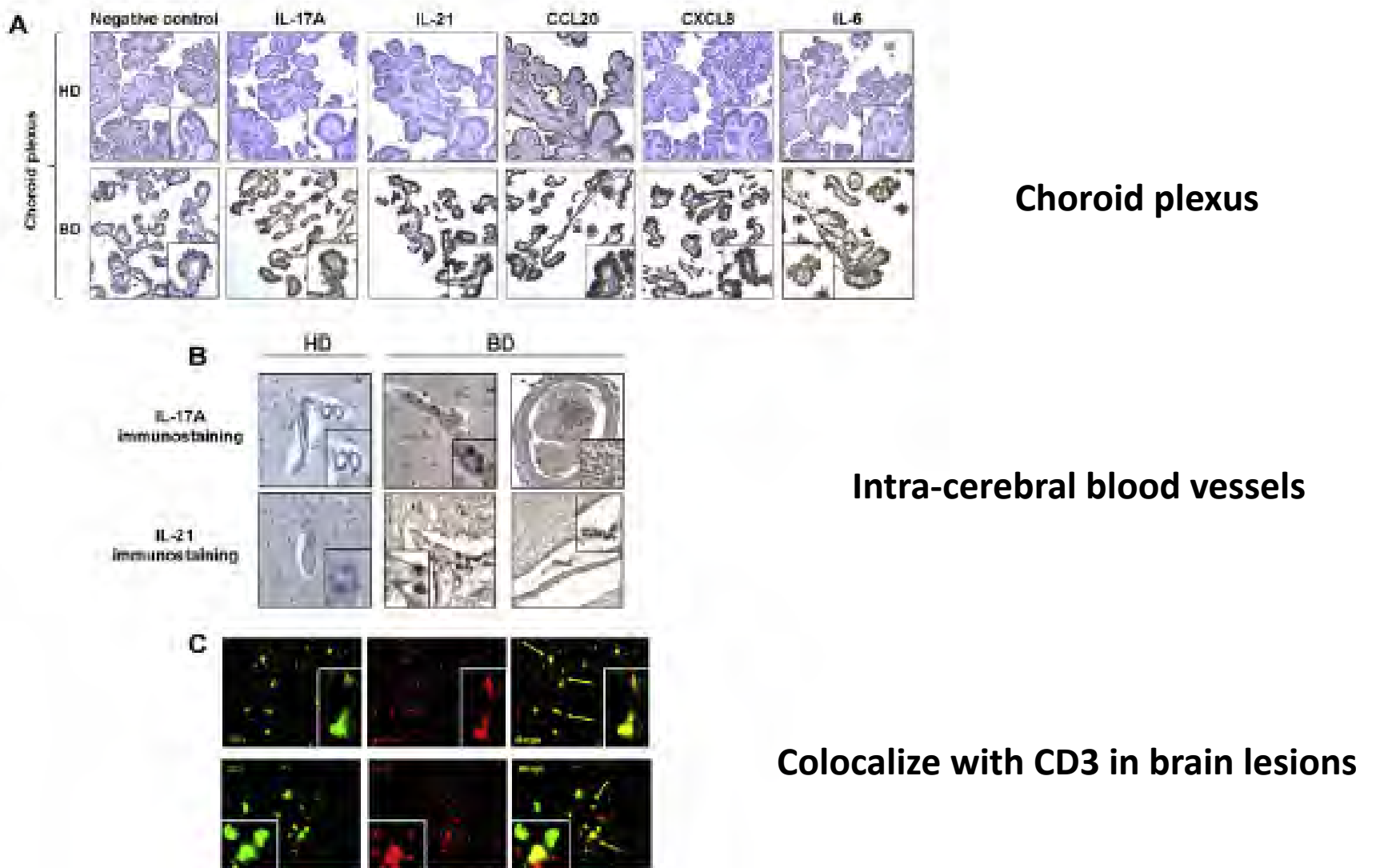
# IL-18 promoter polymorphisms in BD

**-607 C/A -137G/C** polymorphism which is associated with IL-18 gene promoter activity

- No association with these genotypes in Korean BD (*Jang Clin Exp Rheumatol* 2005)
- **-607 CC** genotype and C allele are more frequent in Korean BD  
**-607C/-137G** homozygotes are associated with earlier BD symptoms (*Lee, Human Immunol* 2006)
- **-607 CC** genotype and C allele are more frequent in Turkish BD  
**-607 C/-137G** especially in BD with muco-cutaneous symptoms (*Keskin Clin Exp Rheumatol* 2007)
- **-607 A** allele is associated with BD in Turkish patients (*Htoon J Rheumatol* 2011)
- **-607** genotype and allele distribution are associated with BD in Egyptian patients  
**-137 GG** genotype is associated with more severe ocular symptoms (*Hazzaa J Oral Pathol Med* 2014)

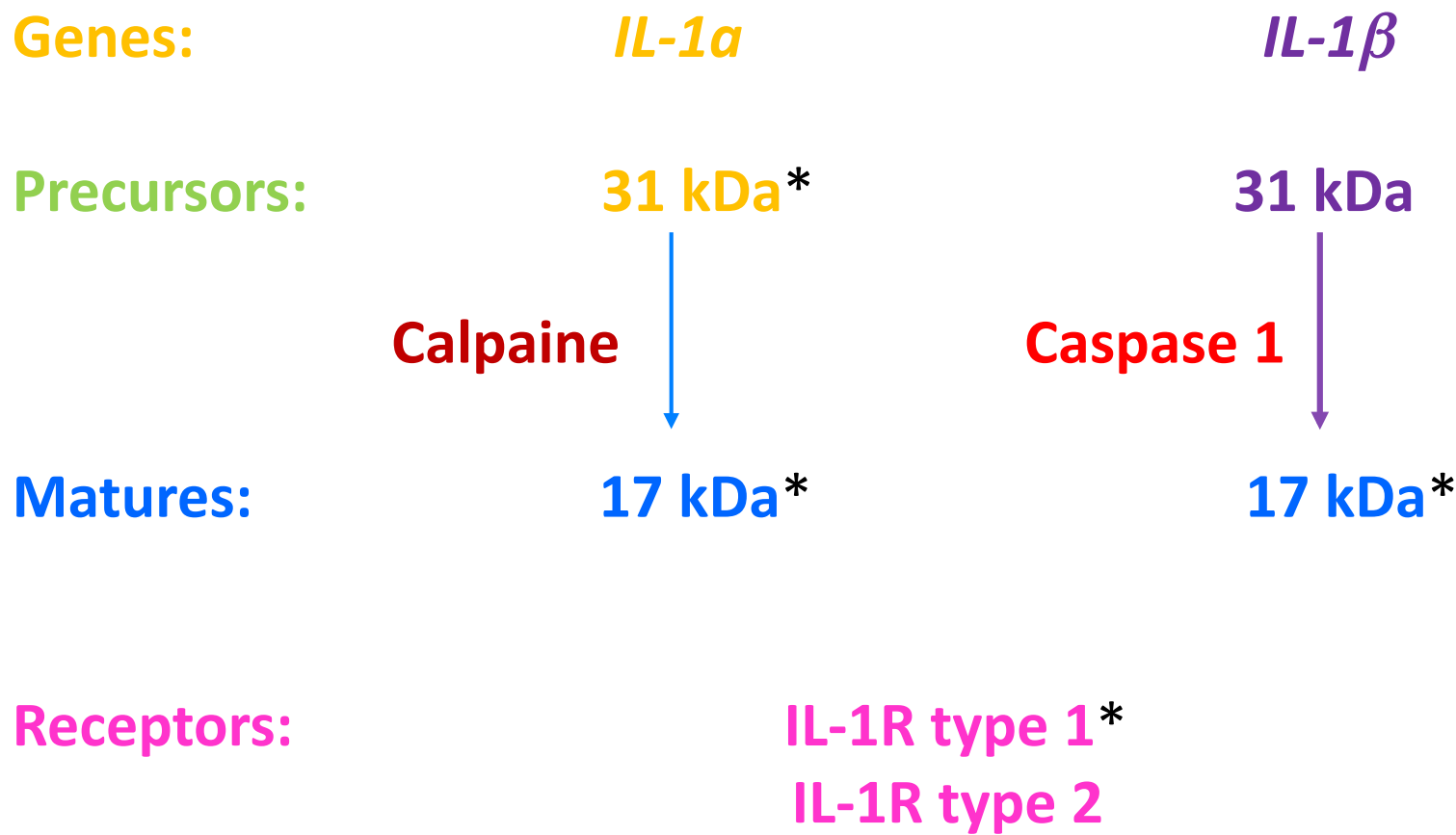
# PREDISPOSITION GENETIQUE GENES DU COMPLEXE MAJEUR D'HISTOCOMPATIBILITE





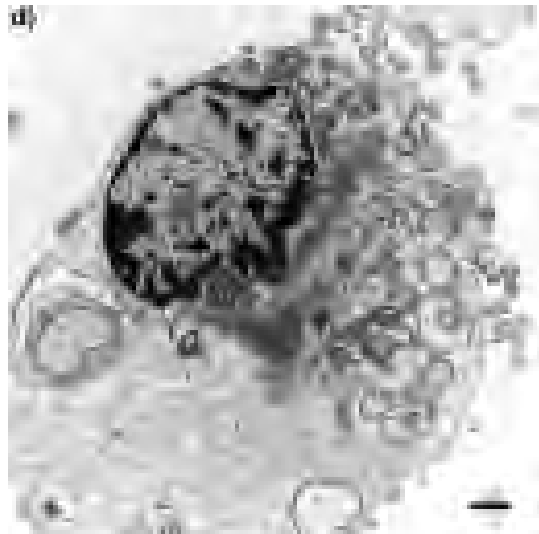
**IL-17 and IL-21 expression in the brain of neuro-BD**

(Geri, J All Clin Immunol 2011)



# NECROSIS/ DAMPS

Plasma membrane rupture+++ DAMPs release out of the cell



Nucleotides: **ATP**

RNA, dsDNA

Heat shock proteins (hsp 70, 90, 96)

**Uric acid**

« Dual cytokines »:

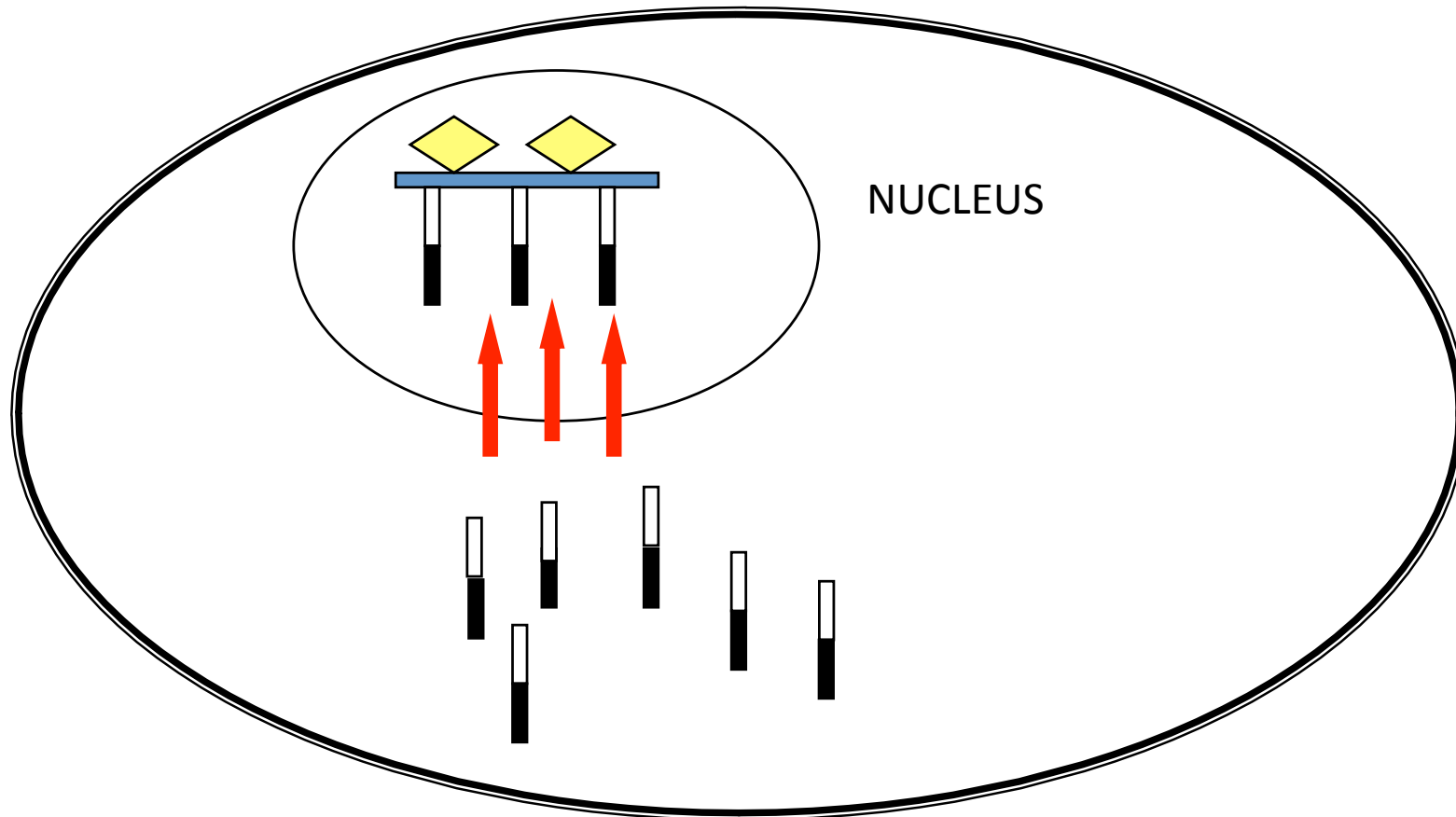
**High-mobility group box 1 (HMGB-1)**

**IL-1 $\alpha$**



**NALP-3 ACTIVATION**

**IL-1 $\beta$**



ACTIVATED  
or  
APOTOTIC

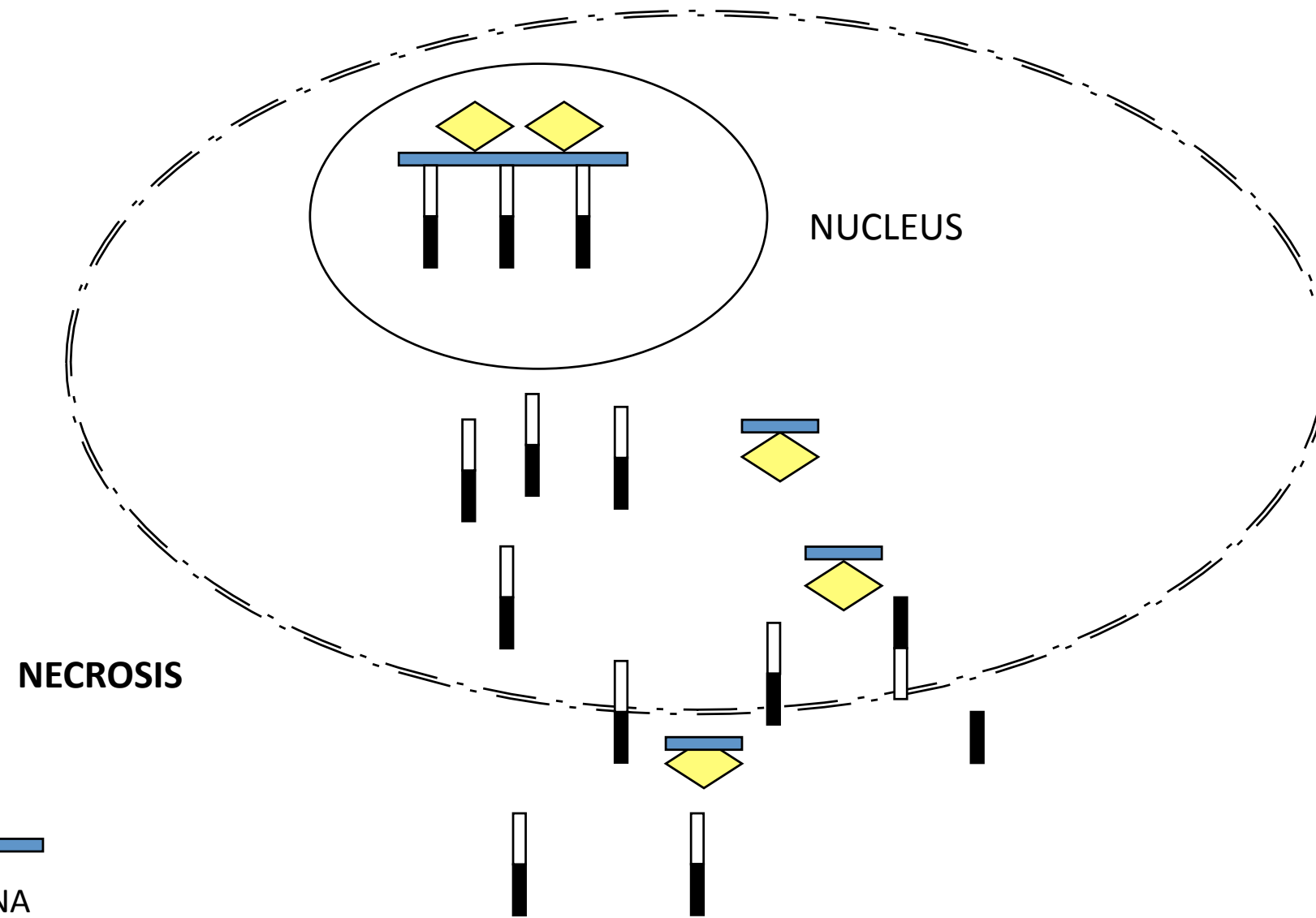
NO INFLAMMATION

HMGB-1

DNA

IL-1 $\alpha$

*Scaffidi I Nature 2002; Dinarello CA Ann Rev Immunol 2009,  
Cohen I et al PNAS 2010*

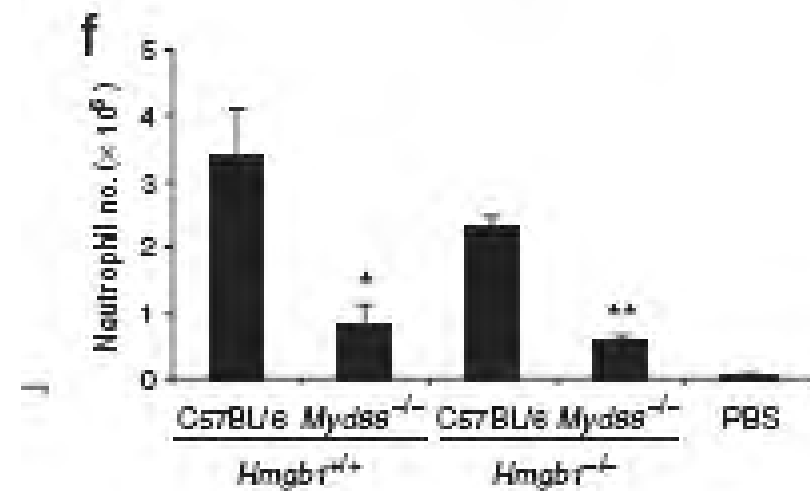


DNA

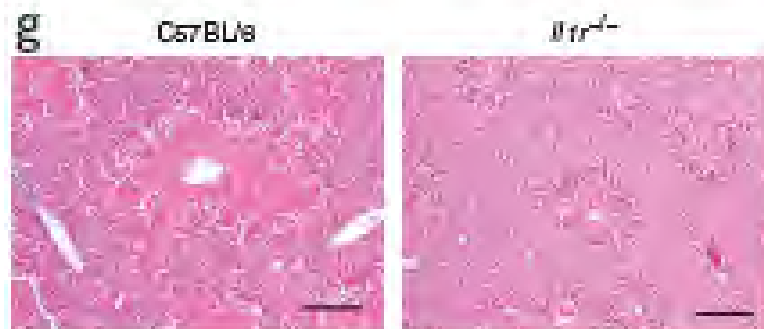
HMGB-1

IL-1 $\alpha$

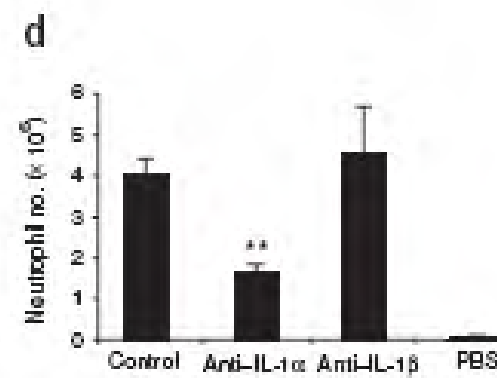
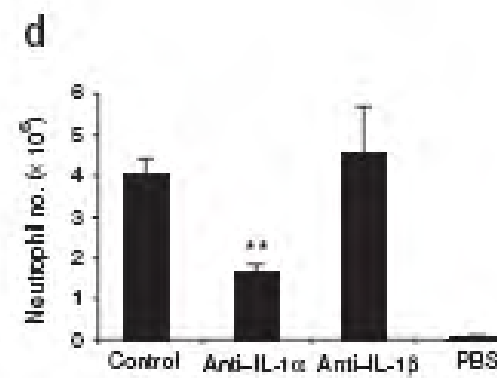
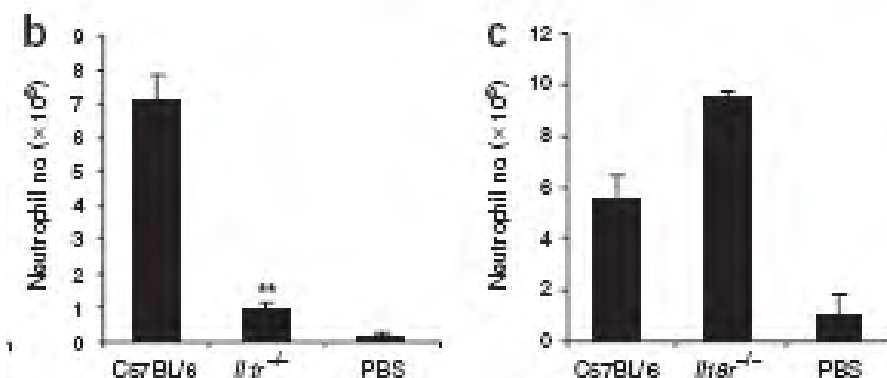
**PRO-INFLAMMATORY**

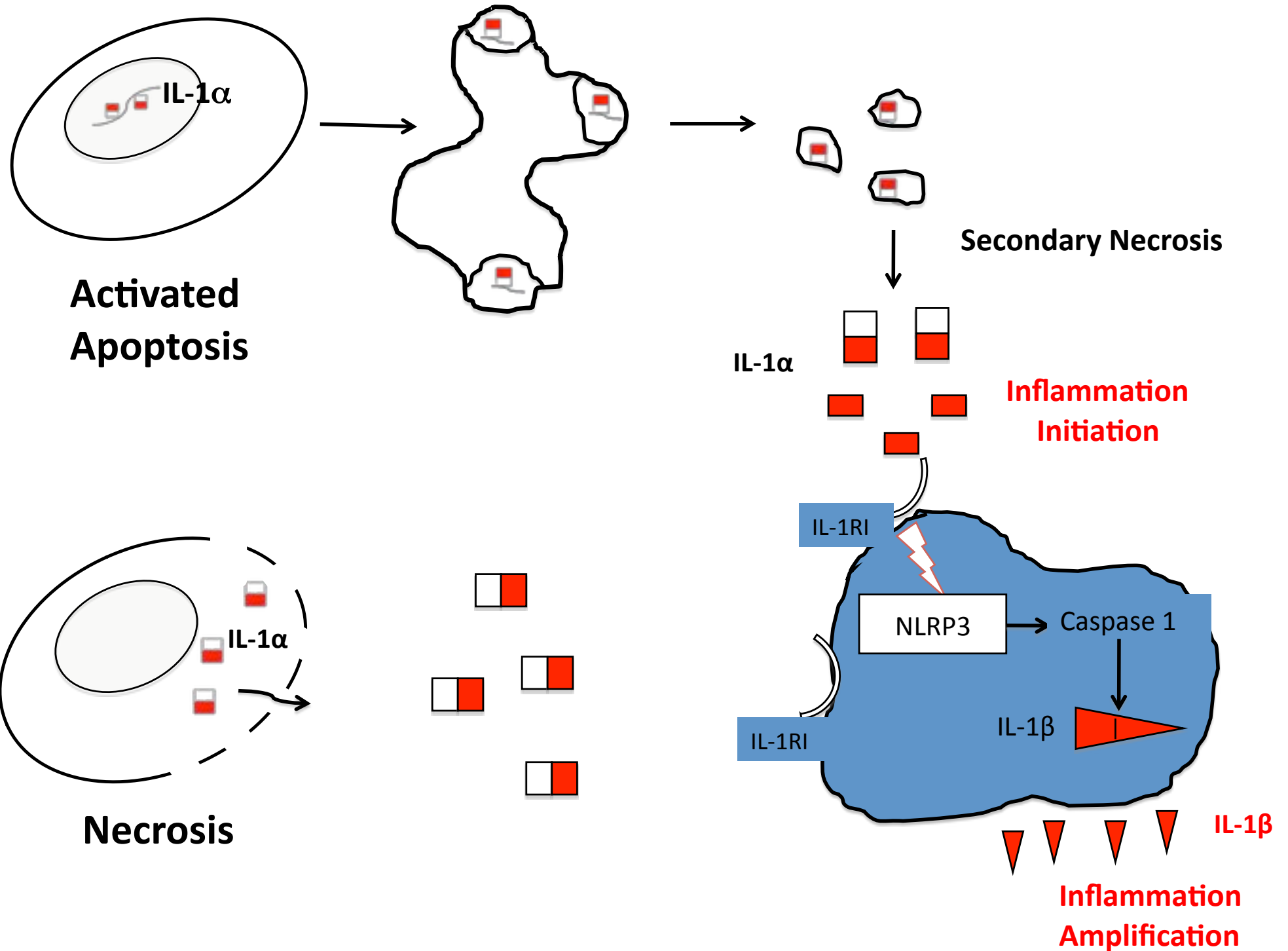


- Completely dependent on MYD88
- HMGB-1-independent
- Not mediated by TLR



## STERILE INFLAMMATION Is mainly IL-1alpha-mediated

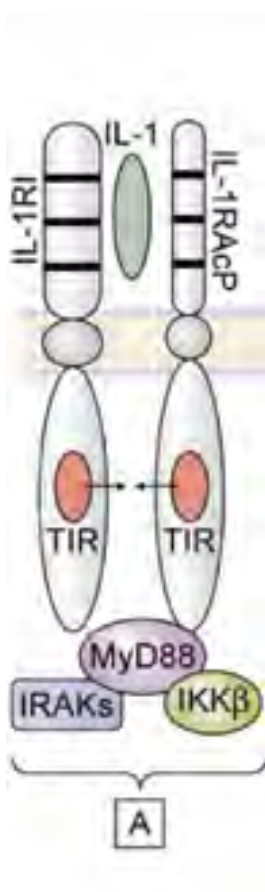




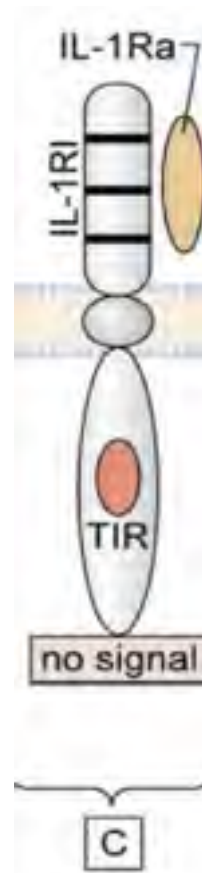
# **ANTI-IL-1 TREATMENTS IN BD: 24 reported cases!!!**

- Rapid efficacy on ocular symptoms
- Efficacy on joint involvement
- No protection against deep venous thrombosis
- Poor efficacy on muco-cutaneous symptoms (colchicine) and digestive tract symptoms (anti-TNF). Neuro-BD?
- In case of Anakinra PR, or flare despite anakinra, it may be possible to increase the dose to 150-200 mg/day (ClinicalTrials NCT01441076)
- or to shift to an anti-IL-1 $\beta$  mAb (Gevokizumab or Canakinumab)

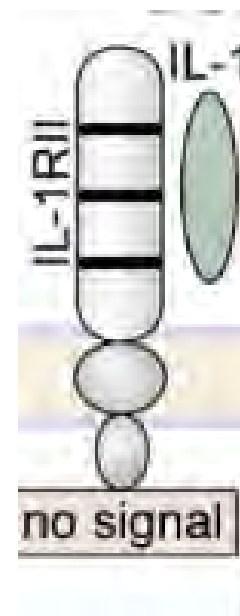
# IL-1 ACTION MODULATION



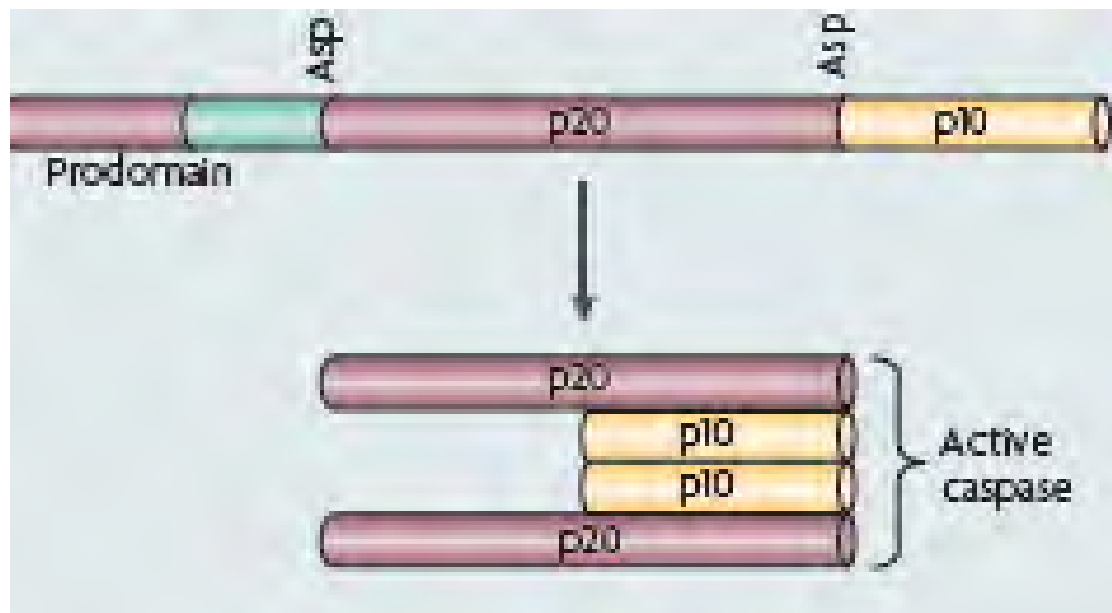
SIGNAL +



SIGNAL -



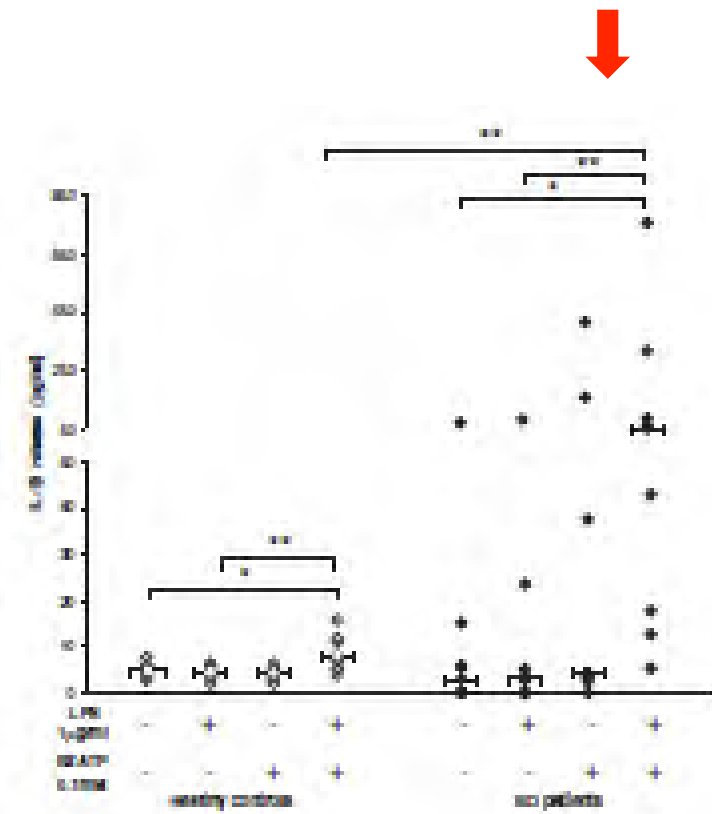
# Cysteine-rich Asparagin Protease: CASPASE



1/ Pro-inflammatory  
Caspase-1

2/ Proapoptotic  
Caspase-8, 9, 3

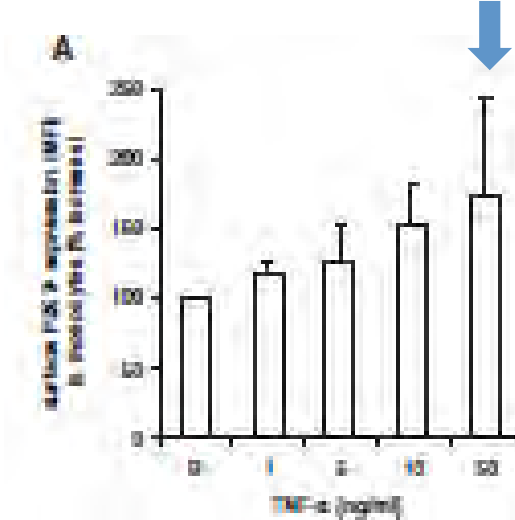
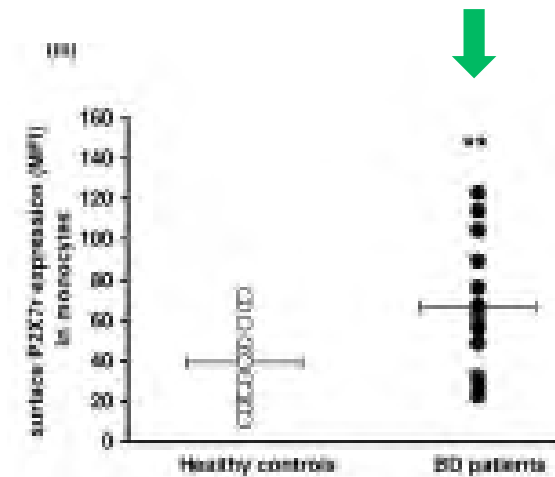
# INCREASED IL-1 $\beta$ PRODUCTION BY BD MONOCYTES IS MEDIATED BY INCREASED ATP RECEPTEORS



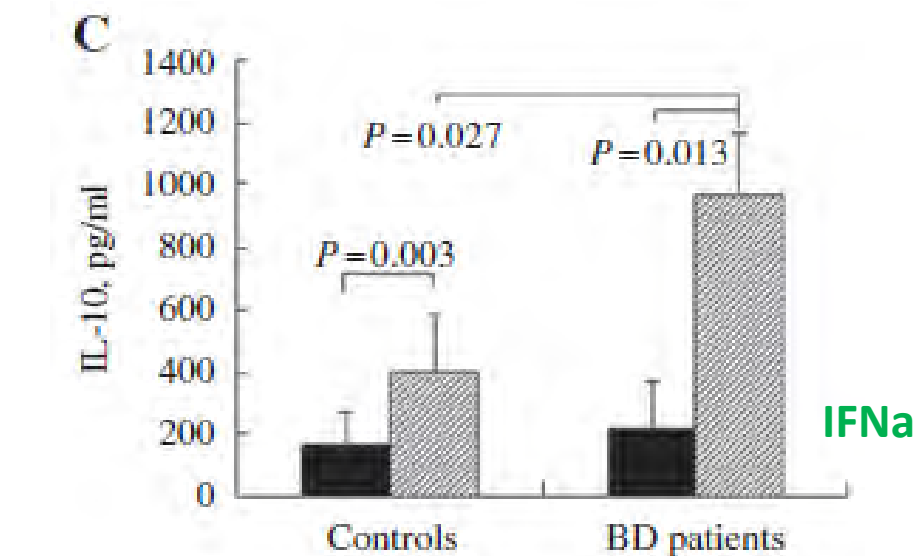
Increased IL-1 $\beta$  secretion with LPS+ATP

Increased P2X7 Rec (ATP Rec) on BD monocytes

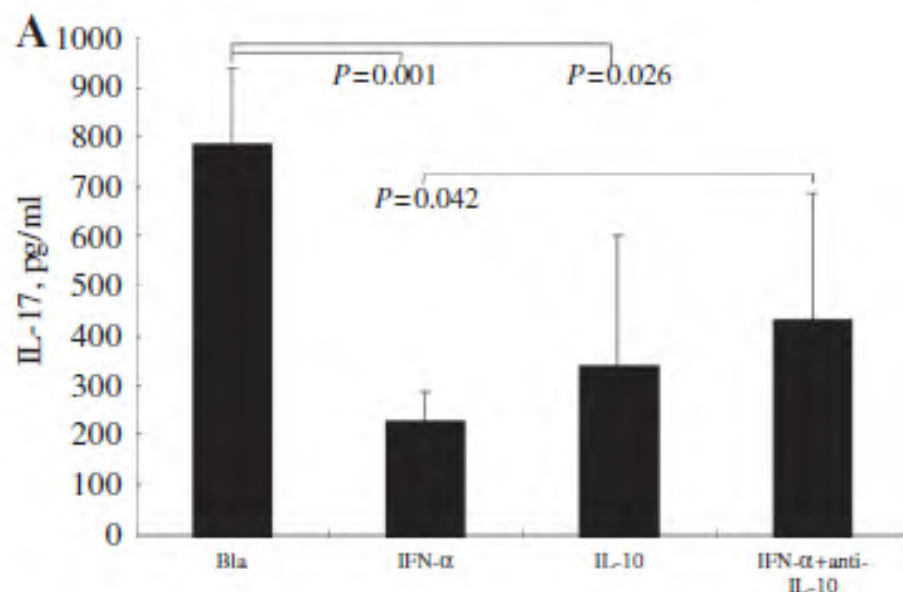
TNF $\alpha$  increased P2X7 Rec expression



# THERAPEUTIC EFFECT OF IFN $\alpha$ IN BD IS ONLY IN PART DUE TO IL-10-MEDIATED IL-17 INHIBITION

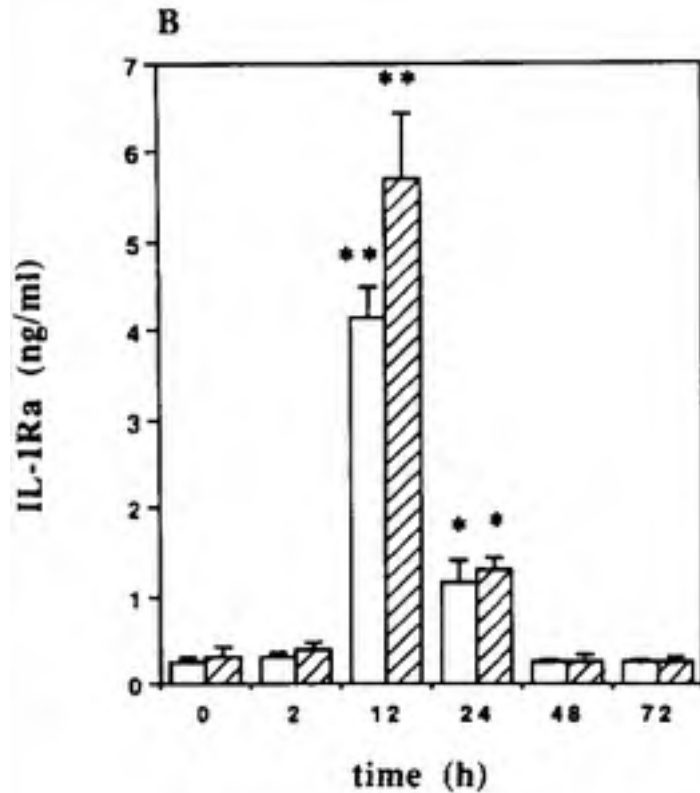


IFN $\alpha$  increases IL-10 production by CD4 T cells in BD

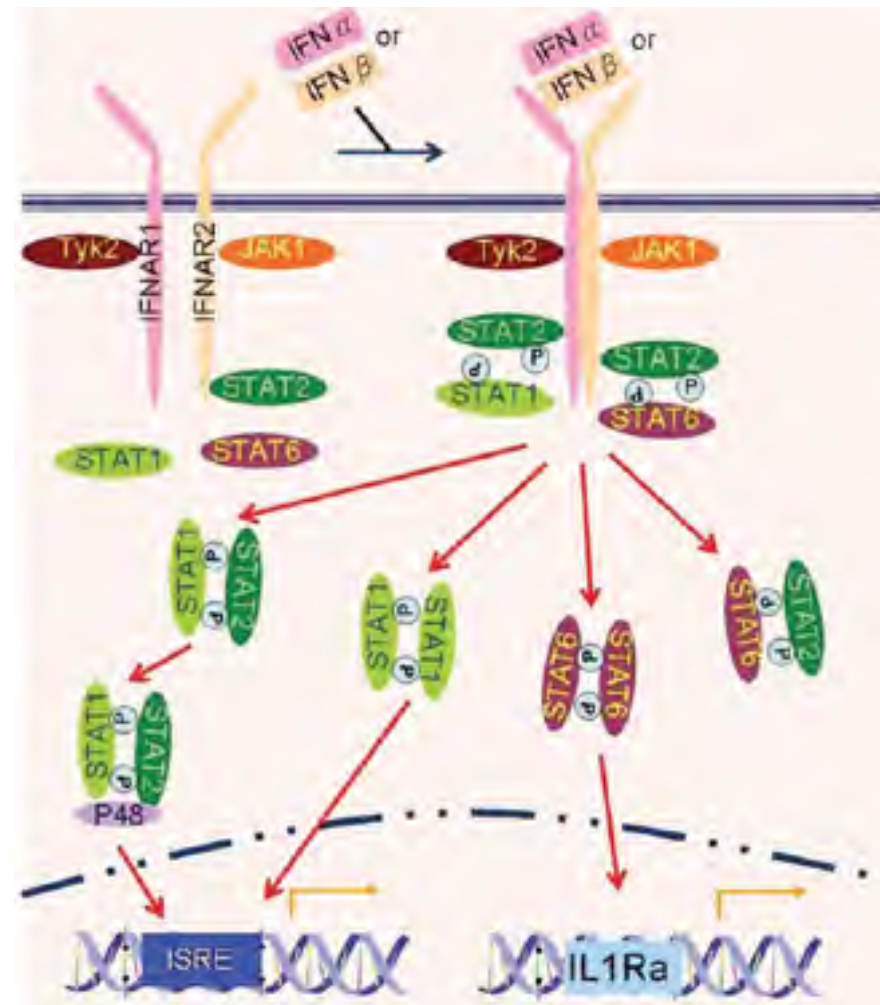


IFN $\alpha$  decreases IL-17 production by CD4T cells via an-IL-10-mediated mechanism. But partially!

# THERAPEUTIC EFFECT OF IFN $\alpha$ in BD MAY BE DUE TO IL-17 INHIBITION BY IL-1Ra



IFN $\alpha$  treatment in hepatitis C  
(Tilg J Immunol 1993)



(Wan J Cell Mol Med 2008)

# INCREASED IL-1 PRODUCTION AND IL-1 GENES POLYMORPHISMS

Conflicting results, but some snp of IL-1A:B genes seems associated with BD

- Association of IL-1A -889 allele and CC genotype/IL-1B+5887T allele and TT genotype with BD (*Karanesh Rheumatology 2003, Alayli Clin Rheumatol 2007*)
- Association with IL-1B +3953T allele and TT genotype with BD, but not IL-1A -889 (*Coskun Exp Dermatol 2005*)
- Association with IL-1B -511TT, but not with IL-1A (*Oczimen Int J Immunogenetics 2011*)
- No association with IL-1A or IL-1B polymorphisms, only with TNFA -308A/G, IL-10-819C/T (*Liang Intl Rev Rheum Dis 2013: Meta-analysis*)
- Association of BD with snp: IL-1A -889CT, IL-A -889TT, IL-1B +3962C, T, CC, CT, IL-1RA mspa 1100TT, 1100CT in Turkish population (*Zhou Mol Rheumatol 2014: Meta-analysis*)

# **EFFICACITE DE L'INHIBITION DE L'IL-1 dans BD**

**Resistant BD responsive to anakinra , Botsios Ann Intern Med 2008**

**24 refractory BD patients have been reported to be treated using anti-IL-1 strategy,  
usually as a 3rd-4th line treatment**

- 14 received ANAKINRA. Complete Remission: 9 patients, PR: 3, Inefficacy: 2
- 3 received Canakinumab. CR: 3
- 7 received Gevokinumab (XOMA052)

# PREDISPOSITION GENETIQUE GENES DU COMPLEXE MAJEUR D'HISTOCOMPATIBILITE

➤ Association avec HLAB5-B51, en particulier B5101 est la plus reconnue (Ohno et al, Arch Ophtalmol 1982/de Menthon A&R 2009)

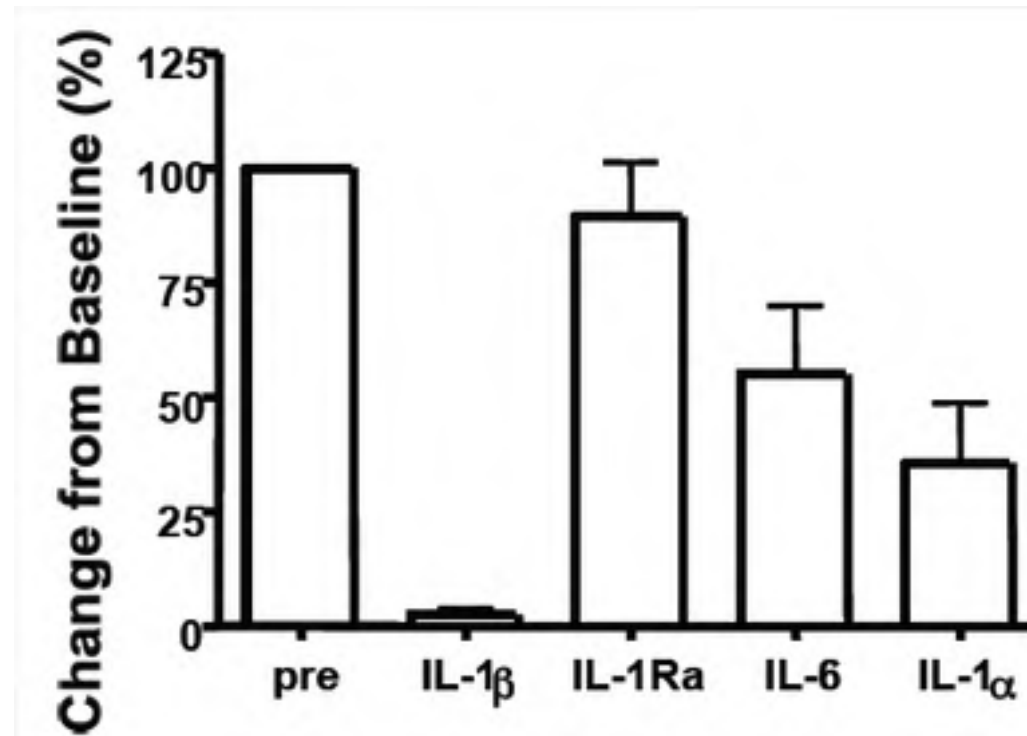
-Liens avec Retinal-S Antigen? Dans la rétine. Perte de tolérance si lésion tissulaire

-1 épitope de R-SAg (342-355) a des homologies de séquence avec HLAB51 et HLAB27

-Les molécules HLA classe I pourraient se comporter en Auto-Ag et être présentées au T CD4 via le HLA II par réaction croisée avec R-SAg après une première uvéite et favoriser une uvéite chronique

-Seuls les patients BD HLA B51+ avec uvéite postérieure ont des réactions immunes vis-à-vis des peptides R-SAg, donc nécessité d'une lésion rétinienne pour qu'apparaisse une réaction croisée vis-à-vis du HLA

➤ XOMA 052 in resistant uveitis of BD: open-label pilot study  
(Gül Ann Rheum Dis 2012)



Decreased IL-1 $\alpha/\beta$ , IL-6, but not IL-1Ra production by stimulated PBMC from treated patients